

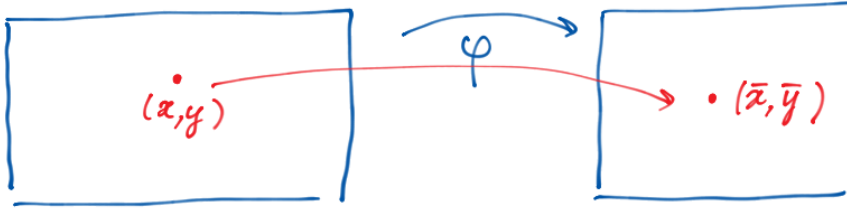
# Автоколебательные (QRT) и неавтоколебательные (Radikale) Дискретные Динамические Системы и их Геометрия

• Дискретная динамическая система:  $\varphi: \mathcal{X} \rightarrow \mathcal{X} = \text{конфигурационное пространство}$

$\therefore$  последовательность точек  $\dots, x_{n-1}, x_n, x_{n+1}, x_{n+2}, \dots \in \mathcal{X}$   $x_n = \varphi^{o n}(x_0)$

Примайте обозначения:  $x_n = \underline{x}$ ,  $x_{n+1} = \bar{x}$ ,  $x_{n-1} = \underline{x}$  (отображение  $\varphi$  может быть неавтоколебательным, т.е. зависит от  $n$ )

В нашем случае:  $\mathcal{X} = (\text{комплексная}) \text{ плоскость } \mathbb{C}^2 = \mathbb{C} \times \mathbb{C}$  с координатами  $(x, y)$  (предварительно)



Что мы хотим:

- интересная (нелинейная) динамика
- достаточно простая (задается рациональными функциями)
- обратимая по времени (би-рациональная)
- интегрируемая (нет хаоса, есть структура, законы сохранения)

• Отображение из класса QRT (построены в работе G.R.W. Quispel, J.A.G. Roberts, C.T. Thompson)

Геометрический подход: Начнем с рассмотрения бивадратичной кривой  $\Gamma$ :

$$\Gamma := V(p(x, y)) = \{(x, y) \in \mathbb{C}^2 : p(x, y) = 0\}, \text{ где } p(x, y) \in \mathbb{C}[x, y],$$

↑ множество нулей (от vanishing)

$$\deg p := (\deg_x p, \deg_y p) = (2, 2), \text{ то есть}$$

$$\Gamma: p(x, y) = a_{00}x^2y^2 + a_{10}xy^2 + a_{20}y^2 + a_{01}x^2y + a_{11}xy + a_{21}y + a_{02}x^2 + a_{12}x + a_{22}$$

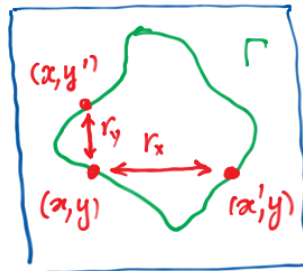
$$= a_0(x)y^2 + a_1(x)y + a_2(x) = \underline{\vec{x}}^T A \vec{y} = 0 \text{ — матричная форма}$$

$$\vec{X} = \langle x^2, x, 1 \rangle = \begin{bmatrix} x^2 \\ x \\ 1 \end{bmatrix}, \quad \vec{Y} = \langle y^2, y, 1 \rangle, \quad \underline{\vec{x}}^T A \vec{y} = [x^2 \ x \ 1] \begin{bmatrix} a_{00} & a_{01} & a_{02} \\ a_{10} & a_{11} & a_{12} \\ a_{20} & a_{21} & a_{22} \end{bmatrix} \begin{bmatrix} y^2 \\ y \\ 1 \end{bmatrix} = p(x, y)$$

$$\underbrace{\begin{bmatrix} a_0(x) & a_1(x) & a_2(x) \end{bmatrix}}$$

(Пока предположим, что мы в общей ситуации, нет вырождений, и т.д.)

На  $\Gamma$  есть две инволюции  $\gamma_x$  и  $\gamma_y$ :  
(инволюция  $i = \text{отображение}$ )  
(порядка 2,  $i^2 = i \circ i = id$ )



$$\gamma_x: (x, y) \leftrightarrow (x', y')$$

$$\gamma_y: (x, y) \leftrightarrow (x, y')$$

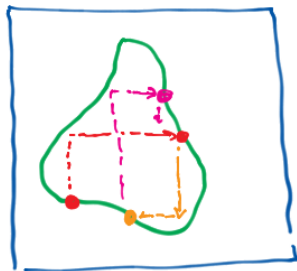
Здесь мы используем тот факт что  $\Gamma$  бивадратична, при фиксированном  $x$ , мы получаем квадратные уравнения на  $y$ :

$$p(x, y) = a_0(x)y^2 + a_1(x)y + a_2(x) = a_0(x)(y - y_1)(y - y_2) \therefore y_1 + y_2 = -\frac{a_1(x)}{a_0(x)}$$

$$\gamma_y: (x, y) \mapsto (x, -y - \frac{a_1(x)}{a_0(x)})$$

Так как  $\gamma_x$  и  $\gamma_y$  инволюции,  $\gamma_x^2 = \gamma_y^2 = id$ , их динамика не очень интересна.

Интереснее рассмотреть их композицию  $\eta := \gamma_x \circ \gamma_y : (x, y) \mapsto (\bar{x}, \bar{y})$  - в общей ситуации не периодично

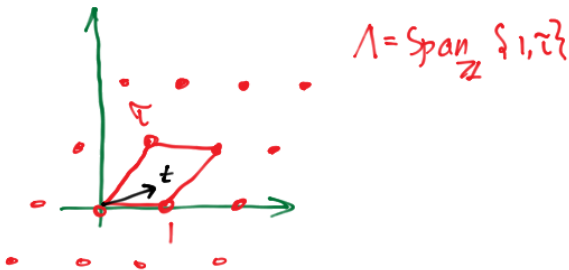


Замечание: В общем случае (2,2)-кривая над  $\mathbb{C}$  является эллиптической,  $\Gamma \simeq \mathbb{C} / \Lambda$ :

$\therefore$  на  $\Gamma$  есть структура абелевой группы

$$\eta: p \mapsto p + t$$

(Tsuda '04)



• Пока наше отображение задано на одной кривой  $\Gamma$ . Мы хотим расширить его на всю комплексную плоскость. Это можно сделать рассмотрев пучок таких (2,2)-кривых.

(пучок = однопараметрическое семейство кривых):

•  $A, B \in \text{Mat}_{3 \times 3}(\mathbb{C}) \quad \lambda_0 \vec{x}^T A \vec{y} + \lambda_1 \vec{x}^T B \vec{y} = P_{[\lambda_0: \lambda_1]}(x, y; A, B) = 0$

$[\lambda_0: \lambda_1] \in \mathbb{P}_{\mathbb{C}}^1 \leftarrow$  комплексная проективная прямая (напомним что это такое пучок)   
 однородные координаты 18 параметров

$[\lambda_0: \lambda_1] = [\lambda = \frac{\lambda_0}{\lambda_1}: 1] = [1: \frac{\lambda_1}{\lambda_0} = \frac{1}{\lambda}]$ , тогда:  $\lambda = 0: \vec{x}^T B \vec{y} = 0$  ( $\Gamma_B$ )   
  $\lambda = \infty: \vec{x}^T A \vec{y} = 0$  ( $\Gamma_A$ )

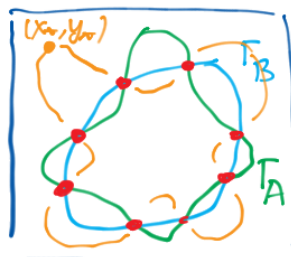
• Для  $(x_*, y_*) \in \mathbb{C}^2$ , в общей ситуации  $\exists!$  кривая  $\Gamma_\lambda$  которая через нее проходит,

$\lambda = \frac{\lambda_0}{\lambda_1} = - \frac{\vec{x}_*^T B \vec{y}_*}{\vec{x}_*^T A \vec{y}_*}$ , и тогда можно определить  $\gamma_x, \gamma_y, \eta$ , и т.д.

Важное замечание: есть базовые точки через которые проходят все кривые пучка:

$\vec{x}^T A \vec{y} = \vec{x}^T B \vec{y} = 0$

таких точек, почитаемых с кратностью, будет 8



(Упражнение: докажите это)

Упражнение: Покажите, что  $\gamma_y: (x, y) \mapsto \left( x, \frac{f_1(x)y - f_0(x)}{f_2(x)y - f_1(x)} \right)$ ,

где

$\langle f_0(x), f_1(x), f_2(x) \rangle := (\vec{x}^T A) \times (\vec{x}^T B)$

векторное произведение

В этих точках наше отображение не определено

• Мы построим отображение  $QRT = \eta := r_\alpha \circ \gamma : \mathbb{C}^2 \rightarrow \mathbb{C}^2$ , которое не определено в 8 базовых точках, это надо исправить. И еще, надо расширить отображение на компактификацию  $\mathbb{C} \times \mathbb{C} \rightsquigarrow \mathbb{P}_\mathbb{C}^1 \times \mathbb{P}_\mathbb{C}^1$ , это мы сейчас и сделаем.

Замечание: Если  $A$  и  $B$  симметричны,  $A = A^T$  и  $B = B^T$ , можно обрѣдить корень (или половинку) отображение  $QRT : \eta = \varphi \circ \varphi$ , где  $\varphi = \theta \circ \gamma$ , и где  $\theta : (x, y) \mapsto (y, x)$ .

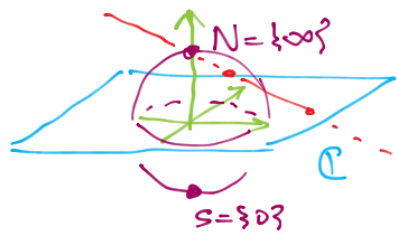
В несимметричном случае (мы его не будем рассматривать),  $\theta : (x, y; A, B) \mapsto (y, x; A^T, B^T)$ .

$$\varphi : \begin{cases} \bar{x} = \frac{f_1(x)y - f_0(x)}{f_2(x)y - f_1(x)} \\ \bar{y} = x \end{cases} \quad \langle f_0(x), f_1(x), f_2(x) \rangle = (\bar{x}^T A) \times (\bar{x}^T B)$$

Далее мы предположим что  $A^T = A, B^T = B$ , и сосредоточимся на отображении  $\eta$ .

• Некоторые Технические Замечания

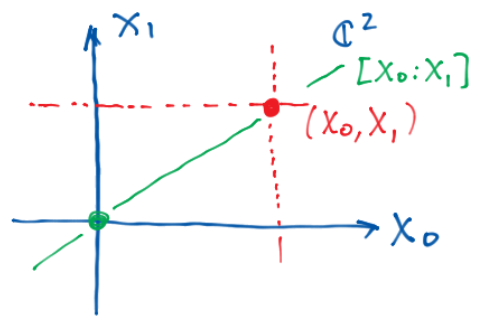
•  $\mathbb{P}_\mathbb{C}^1 =$  комплексная проективная прямая = сфера Римана  $\parallel \mathbb{C}^2 - \{(0,0)\} / \sim$



- однолистная компактификация  $\mathbb{C}$  (добавим  $\infty$ )

$$\mathbb{C}^2 - \{(0,0)\} \ni (X_0, X_1) \quad (X_0, X_1) \sim (X'_0, X'_1) \iff X_0 X'_1 = X'_0 X_1 \iff (X'_0, X'_1) = \mu (X_0, X_1) \quad \mu \in \mathbb{C} - \{0\}$$

Однородные координаты:  $[X_0 : X_1] = [x : 1] = [1 : X]$   $X = \frac{1}{x}$   $X = 0 \iff x = \infty$



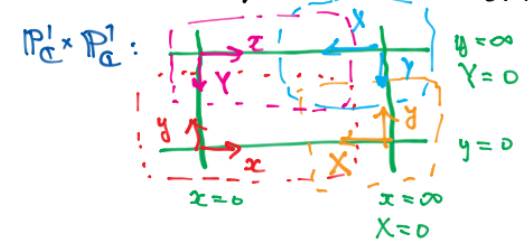
$$x = \frac{X_0}{X_1} \quad X = \frac{X_1}{X_0} \quad \left. \vphantom{\frac{X_0}{X_1}} \right\} \text{ "угол наклона"}$$

- параметризация всех прямых через  $(0,0)$  на  $\mathbb{C}^2$

• В отличие от  $\mathbb{C}$ , у  $\mathbb{C} \times \mathbb{C}$  есть разные компактификации:

$$\mathbb{P}_\mathbb{C}^1 \times \mathbb{P}_\mathbb{C}^1 \dashrightarrow \mathbb{P}_\mathbb{C}^2 = \mathbb{C}^3 - \{(0,0,0)\} / \sim$$

нам удобнее работать с этой компактификацией:



- они бирационально эквивалентны. (покажем позже)

4 карты:  $(x, y)$   $(X, Y)$   $(x, Y)$   $(X, y)$

• Дивизоры и их классы

- На  $\mathbb{P}_\mathbb{C}^1$ :  $\text{Div}(\mathbb{P}^1) := \left\{ D = \sum_{i, \text{finite}} a_i \{p_i\} \mid \begin{matrix} a_i \in \mathbb{Z} \\ p_i \in \mathbb{P}_\mathbb{C}^1 \end{matrix} \right\} = \text{span}_{\mathbb{Z}} \{ \{p_i\} \in \mathbb{P}_\mathbb{C}^1 \}$

Например:  $D = 3\{-2\} - 5\{i\} + \{1.37 - i\sqrt{5}\} + \{\infty\}$

Есть взаимное отображение:  $\begin{matrix} \text{Рациональные} \\ \text{(мероморфные)} \\ \text{функции} \end{matrix} \rightarrow \text{Дивизоры} \quad \{f \mapsto (f) = \text{"нули"} - \text{"полюса"}\}$

Пример:  $f(x) = 3 \frac{(x-1)^2(x+2)}{(x-i)(x+i)(x-3)} \mapsto (f) = 2\{1\} + 1\{-2\} - 1\{i\} - 1\{-i\} - 1\{3\}$

Дивизоры рац. функций называются главными (principal), они образуют подгруппу  $\mathcal{P}(\mathbb{P}_\mathbb{C}^1) \triangleleft \text{Div}(\mathbb{P}_\mathbb{C}^1)$ .

Важное замечание: обычно функции задаются в одной аффинной карте (то есть в переменной  $x$ ), для вычисления дивизора надо эту функцию переписать во всех картах:

$f(x) = x(x+1) \leftrightarrow f(x = \frac{1}{x}) = \frac{1(1+x)}{x^2}$  Тогда:  $(f) = \{0\} + \{1\} - 2\{\infty\}$ !

Степень дивизора:  $\text{deg } D := \sum_i a_i$  deg(f) = 0

Поэтому иногда удобно работать в однородных координатах:  $f: \mathbb{P}_\mathbb{C}^1 \rightarrow \mathbb{P}_\mathbb{C}^1$

задается  $f([x_0: x_1]) = [P(x_0, x_1) : Q(x_0, x_1)]$

*взаимно простые формы одной степени*

В нашем примере:  $f(x) = x(x+1) \rightsquigarrow \frac{x_0}{x_1} \left( \frac{x_0}{x_1} + 1 \right) = \frac{x_0(x_0+x_1)}{x_1^2} \rightsquigarrow f([x_0: x_1]) = [x_0(x_0+x_1) : x_1^2]$

Тогда:  $(f) = \{[0:1]\} + \{[1:0]\} - 2\{[1:0]\} = \{0\} + \{1\} - 2\{\infty\}$

По (f) мы можем восстановить f с точностью до пропорциональности

$D = 2\{1\} - 1\{3\} - 1\{i\} \quad \text{deg } D = 0 \rightsquigarrow f = c \frac{(x+1)^2}{(x-3)(x-i)}$

*отношение линейной эквивалентности*

• Классы дивизоров:  $\mathcal{C}l(\mathbb{P}_\mathbb{C}^1) := \text{Div}(\mathbb{P}_\mathbb{C}^1) / \mathcal{P}(\mathbb{P}_\mathbb{C}^1) = \text{Div}(\mathbb{P}_\mathbb{C}^1) / \sim \cong \mathbb{Z} \langle \infty \rangle$

$D_1 \sim D_2 \Leftrightarrow \exists \text{ рац. } f: D_1 - D_2 = (f) \quad [D_i] = \mathcal{D}_i; \quad D = \{5\} \notin \mathcal{P}(\mathbb{P}_\mathbb{C}^1) \quad \{5\} \sim \{0\}$

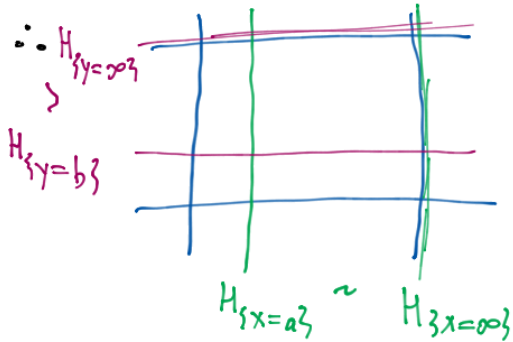


- Общее определение:  $X =$  алгебраическое многообразие (algebraic variety)
- $\text{Div}(X) := \text{Span}_{\mathbb{Z}} \{ \text{неприводимые алг. подмногообразия } X \text{ размерности } 1 \}$  (т.е., в нашей двумерной сфере - непр. кривые)
- $P(X) = \text{главные дивизоры} = \{ (f) \mid f \in K(X) = \mathbb{C}(X) \text{ - рац. функции} \}$
- $\text{Cl}(X) = \text{Div}(X) / P(X)$  Ref.: И.П. Матрафетте "Основы Алгебраической Геометрии"

• Нам интересней случай  $X = \mathbb{P}^1 \times \mathbb{P}^1$ . В этом случае,  $\text{Cl}(\mathbb{P}^1 \times \mathbb{P}^1)$  совпадает с так-называемой решеткой Пикара для  $\mathbb{P}^1 \times \mathbb{P}^1$ , мы примем это за определение:  $\text{Pic}(\mathbb{P}^1 \times \mathbb{P}^1) := \text{Div}(\mathbb{P}^1 \times \mathbb{P}^1) / P(\mathbb{P}^1 \times \mathbb{P}^1) \cong H^2(\mathbb{P}^1 \times \mathbb{P}^1; \mathbb{Z})$

Рац. функции на  $\mathbb{P}^1 \times \mathbb{P}^1$ :  $\sum_i f_i(x)g_i(y) = \sum_i \frac{P_i(x_0:x_1)}{Q_i(x_0:x_1)} \cdot \frac{R_i(y_0:y_1)}{S_i(y_0:y_1)}$  (в однокординатных координатах)

Примеры главных дивизоров:  $f(x,y) = x - a = \frac{x_0 - ax_1}{x_1} \Rightarrow (f) = \{x=a\} - \{x=\infty\}$



Класс верт. прямых =  $\mathcal{H}_x = [H_{x=a}]$   
 Класс гор. прямых =  $\mathcal{H}_y = [H_{y=b}]$

$\text{Pic}(\mathbb{P}^1 \times \mathbb{P}^1) = \text{Span}_{\mathbb{Z}} \{ \mathcal{H}_x, \mathcal{H}_y \}$

Пример:  $D = \{V(y^2 - x) \text{ в карте } (x,y) \text{ + замыкание}\}$  (не главной дивизор!)

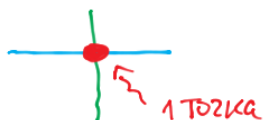
$f(x,y) = y^2 - x = \frac{y_0^2}{y^2} - \frac{x_0}{x_1} = \frac{x_1 y_0^2 - x_0 y_1^2}{x_1 y_1^2} = y^2 - x = \frac{x y^2 - 1}{x} = \frac{1 - x y^2}{y^2} = \frac{x - y^2}{x y^2}$

in (x,y)      in (x,y)      in (x,y)      in (x,y)

$(f) = D - H_{\{x=\infty\}} - 2H_{\{y=\infty\}} \therefore D \sim H_x + 2H_y \quad [D] = \mathcal{H}_x + 2\mathcal{H}_y$ , это соответствует  $\text{bi-deg}(f) = (1,2)$  и т.д.

• Форма пересечения на  $\text{Pic}(\mathbb{P}^1 \times \mathbb{P}^1)$ : определяет на базисных классах + линейность.

$\mathcal{H}_x \cdot \mathcal{H}_y = 1$



$\mathcal{H}_x \cdot \mathcal{H}_x = 0$



$\mathcal{H}_y \cdot \mathcal{H}_y = 0$



$(2\mathcal{H}_x + 2\mathcal{H}_y) \cdot (2\mathcal{H}_x + 2\mathcal{H}_y) = 8 = \# \text{ базисных точек!}$

• Пример отображения QRT:  $A = \begin{bmatrix} 0 & 1 & 0 \\ 0 & 0 & 0 \\ 0 & 0 & 0 \end{bmatrix}$   $B = \begin{bmatrix} a & 0 & -a \\ 1 & -a & 1 \end{bmatrix}$   $\alpha = a + a^{-1}$   
 $a \neq a, \pm 1$

$\vec{X}^T A \vec{Y} = xy = X_0 X_1 Y_0 Y_1$  в одн. коорд.

$\vec{X}^T B \vec{Y} = x^2 y^2 + \alpha |x^2 y + x y^2| + (x^2 + y^2) - \alpha |x + y| + 1$   
 $= (xy + a^{-1}(x+y) - 1) (xy + a(x+y) - 1)$

$\begin{bmatrix} X_0^2 & X_0 X_1 & X_1^2 \end{bmatrix} A \begin{bmatrix} Y_0^2 \\ Y_0 Y_1 \\ Y_1^2 \end{bmatrix}$

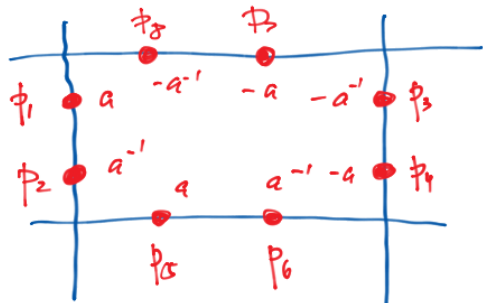
Замечание: обе базисные кривые в этом случае вырождены

Базисные точки:

$X_0 X_1 Y_0 Y_1 = 0$

$(X_0 Y_0 + a^{-1}(X_0 Y_1 + X_1 Y_0) - X_1 Y_1)(X_0 Y_0 + a(X_0 Y_1 + X_1 Y_0) - X_1 Y_1) = 0$

$X_0 = 0$  ( $x=0$ )  $X_1 (a^{-1} Y_0 - Y_1) = 0$  или  $X_1 (a Y_0 - Y_1) = 0$   
 $(\because X_1 \neq 0)$   $(0, a)$  или  $(0, 1/a)$  и т.д.



(все симметрично по x и y)

Динамика

$\varphi: \begin{cases} \bar{x} = \frac{(x-a)(x-a^{-1})}{y(x+a)(x+a^{-1})} = \frac{y(x-a)(x-a^{-1})}{(x+a)(x+a^{-1})} \\ \bar{y} = x \end{cases}$

Базисные точки:  $(a, 0)$   $(a^{-1}, 0)$   $(-a, \infty)$   $(-a^{-1}, \infty)$  %

Где ещё есть точки? — обратная динамика.

$\varphi^{-1}: \begin{cases} \underline{x} = y \\ \underline{y} = \frac{(y-a)(y-a^{-1})}{x(y+a)(y+a^{-1})} \end{cases} \sim \gamma_y \circ \beta = \beta \circ \gamma_x$

Базисные точки:  $(0, a)$   $(0, a^{-1})$   $(\infty, -a)$   $(\infty, -a^{-1})$  %

Q: Как исправить неопределенность отображения в базовых точках?

A: Поменять область определений / значений с помощью процедуры раздутия (blow-up или  $\sigma$ -процесс)

Результат: QRT-поверхность  $\mathcal{X}$  = рациональная эллиптическая поверхность где  $\varphi$ -автоморфизм сохр. слои  $\mathcal{X} \cong \mathbb{P}^2$ -эллип. кривая  $\downarrow \mathbb{P}^2 \ni \{l_0, l_1\}$

• Процедура раздутия (стандартная процедура разрешения особенностей)

Нам понадобится простейший вариант процедуры раздутия — точки на поверхности. Мы опишем минимальную конструкцию, для нас ее достаточно

• Координатное описание: С координаткой точки зрения, раздутие в точке  $(x_0, y_0)$

есть просто замена координат:  $x = u + x_0 = UV + x_0$   
 $y = uv + y_0 = V + y_0$   
 $u = x - x_0, v = \frac{y - y_0}{x - x_0}, x \neq x_0$   
 $v = y - y_0, u = \frac{x - x_0}{y - y_0}, y \neq y_0$

карта  $(x, y) \mapsto$  две карты  $(u, v)$   $(U, V)$

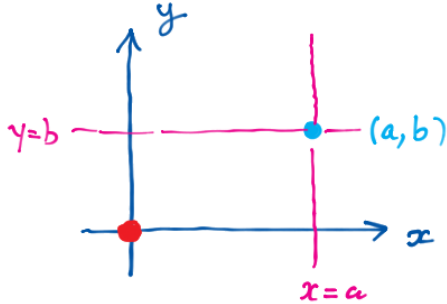
Такая замена "помогает" избавиться от неопределенностей вида  $\frac{0}{0}$ , как в нашем примере:  $\bar{x}$  в точке  $(a, 0)$ :

$\bar{x} = \frac{(x-a)}{y} \frac{(x-a^{-1})}{(x+a)(x+a^{-1})} = \frac{u}{uv} \frac{(u+a-a^{-1})}{(u+a)(u+a^{-1})} = U \frac{(UV+a-a^{-1})}{(UV+a)(UV+a^{-1})}$

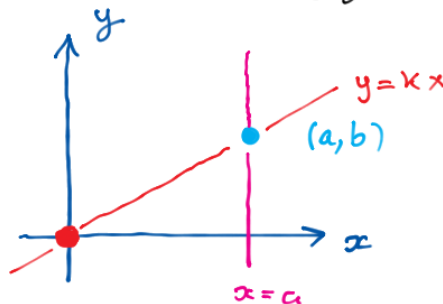
*← неопределенность*

• Для нас будет важно описание этой процедуры с геометрической точки зрения

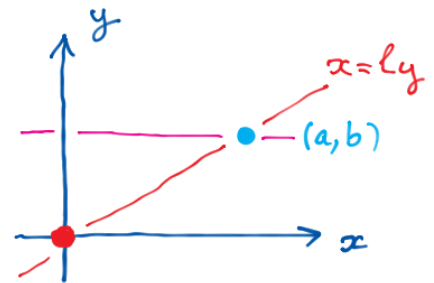
Предположим для простоты это центр раздутия  $(x_0, y_0) = (0, 0)$ .



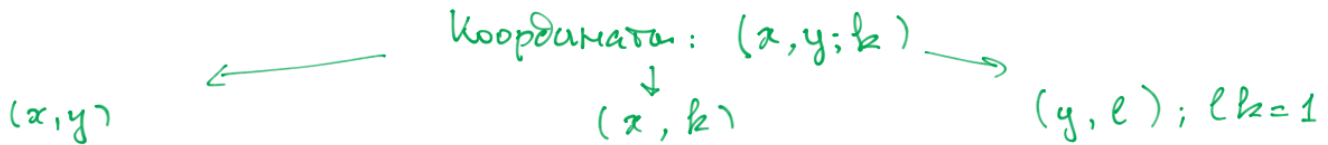
Точка  $(a, b)$  лежит на пересечении координатных линий  $\{x=a\}$  и  $\{y=b\}$



Точка  $(a, b)$  лежит на пересечении  $\{x=a\}$  и прямой через  $(0, 0)$  и  $(a, b)$  с углом наклона  $k = \frac{b}{a}$  к оси  $x$ ;  $y = kx$   
 При  $(a, b) \neq (0, 0)$  и  $a \neq 0$  такая прямая единственна



Точка  $(a, b)$  лежит на пересечении  $\{y=b\}$  и прямой  $x = ly$  с углом наклона  $l = \frac{a}{b}$ ,  $(a, b) \neq (0, 0)$ ,  $b \neq 0$



• Более аккуратно:

$S \subset (\mathbb{C} \times \mathbb{C}) \times \mathbb{P}^1$   
 $(x, y; [\xi_0 : \xi_1])$

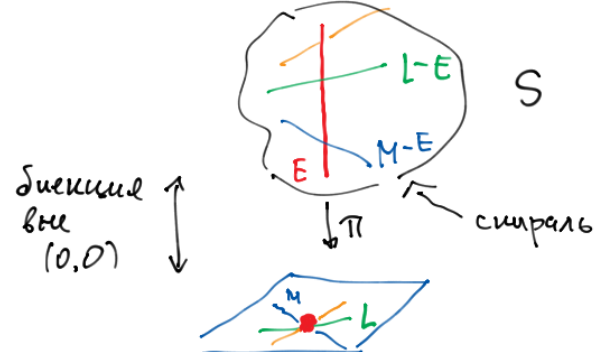
$S = \{ (x, y; [\xi_0 : \xi_1]) \mid x\xi_0 = y\xi_1 \}$   
 $y = \frac{\xi_0}{\xi_1} x = kx \quad \xi_1 \neq 0 \quad l = \frac{\xi_1}{\xi_0} \quad \xi_0 \neq 0$

Две карты (от двух карт на  $\mathbb{P}^1$ )

Тогда:

$$\mathbb{C} \times \mathbb{C} \times \mathbb{P}^1 \supset S$$

$$\begin{array}{ccc} \sigma \downarrow & (x, y, [\xi_0: \xi_1]) & \downarrow \\ & (x, y) & \downarrow \\ \mathbb{C} \times \mathbb{C} & & \mathbb{C} \times \mathbb{C} \end{array}$$



$$\pi^{-1}(a, b) = \begin{cases} (a, b; [b:a]) & (a, b) \neq (0, 0) \\ (0, 0; [\xi_0: \xi_1]) = E & \text{exceptional fiber (специальный дивизор)} \end{cases}$$

раздутие разделяет прямые через центр "подмилла" их на разную высоту в зависимости от угла наклона

Важное замечание: полный (теоретико-множественный)

прообраз кривой  $C$  проходящей thru центр раздутия состоит из двух неприводимых компонент:


специального дивизора  $E$  и собственного прообраза  $\pi^{-1}(C - \{0,0\})$ .

Собственный прообраз обозначается  $C-E$  и, несмотря на знак  $-$ , является эффективным ("геометрически") дивизором.

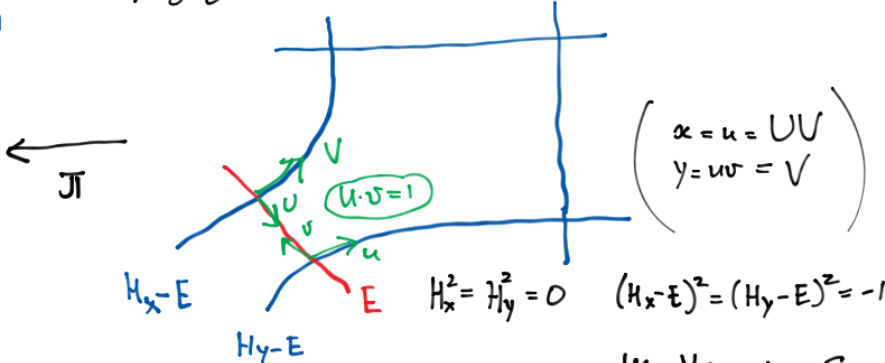
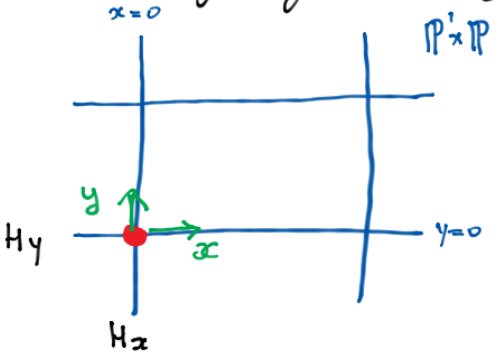
Заметим это, если кривые (или кривые)  $L$  и  $M$  пересекаются в центре раздутия,

$L \cdot M = 1$ , то их собственные прообразы  $(L-E)$  и  $(M-E)$  на раздутой поверхности не пересекаются,  $(L-E) \cdot (M-E) = 0$ . Наглядные требования линейности на индекс пересечения,  $(L-E) \cdot (M-E) = L \cdot M - E \cdot M - L \cdot E + E \cdot E = 0$ , приходим к требованию  $E \cdot E = -1$ .

Немного каивно, это означает что у специального дивизора "нет деформаций"; мы не можем его "пошевелить" и получить другой представитель класса  $E$  пересекающийся специальным дивизором трансверсально. (У нормального расслоения, нет сечений) (См. Шафаревич, ОАГ)

 Если  $M \cdot M = k$ , то  $(M-E) \cdot (M-E) = k-1$ , и т.д.

• Нам будет удобно обозначать раздутие точки на плоскости такой картинкой:



$$\begin{cases} x = u = UV \\ y = uv = V \end{cases}$$

Если  $X = \mathbb{P}^1 \times \mathbb{P}^1$ ,  $\text{Pic}(X) = \text{Span}_{\mathbb{Z}} \{H_x, H_y, E_1, \dots, E_n\}$

$$\begin{aligned} H_x \cdot H_y &= 1 & E_i \cdot E_i &= -1 \\ H_x^2 &= H_y^2 = 0 & H_x \cdot E_i &= H_y \cdot E_i = E_i \cdot E_j = 0 \end{aligned}$$



- Раздувая базовые точки для отображения QRT мы получим  $\mathcal{X} = \mathbb{P}^1_{p_1, \dots, p_8}(\mathbb{P}^1 \times \mathbb{P}^1)$  называемую поверхностью QRT. Эта поверхность "раслаивается" на эллиптические кривые (возможно вырожденные) из нашего пучка, которые уже не пересекаются:

$\mathcal{X}$   
↓  
 $\mathbb{P}^1_{\lambda}$  ← параметр пучка

Такие поверхности называются рациональными эллиптическими поверхностями. Отображение QRT сохраняет это слоение, т.е., параметр пучка  $\lambda$  является законом сохранения для QRT-динамики.

Отображение QRT индуцирует отображение на  $\text{Pic}(\mathcal{X})$ .

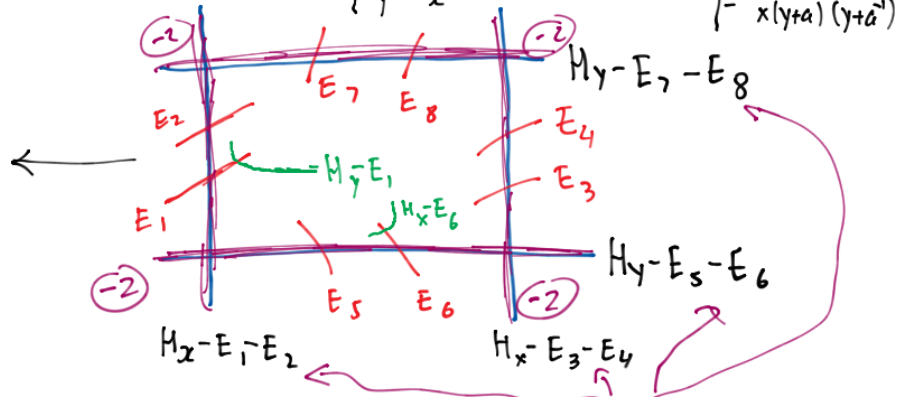
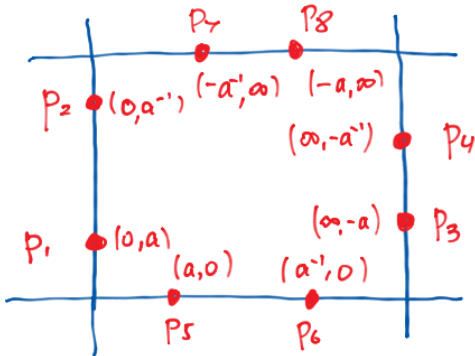
Пусть  $QRT = \eta: \mathcal{X} \rightarrow \bar{\mathcal{X}} = \mathcal{X}$  для удобства, означает область значений (напр) отображение. Тогда:

$\eta_*: \text{Pic}(\mathcal{X}) \rightarrow \text{Pic}(\bar{\mathcal{X}})$  — геометрическое отображение заданное на дивизорах Вейля (подмногообразиях коразмерности 1)

$\eta^*: \text{Pic}(\bar{\mathcal{X}}) \rightarrow \text{Pic}(\mathcal{X})$  — функциональное отображение заданное на дивизорах Картэ (подмногообразиях заданных локально одним уравнением)

В данном случае, как у нас, группы дивизоров Вейля и Картэ совпадают и  $\eta^* = \eta_*^{-1}$

- В нашем примере, для отображения  $\varphi$ ,  $QRT = \eta = \varphi^2$ ,  $\varphi: \begin{cases} \bar{x} = \frac{(x-a)(x-a')}{y(x+a)(x+a')} \\ \bar{y} = x \end{cases}$   $\varphi^{-1}: \begin{cases} x = y \\ y = \frac{(y-a)(y-a')}{x(y+a)(y+a')} \end{cases}$



кривые с индексом самопересечения -2 (будет важно)

Лемма Отображение  $\varphi$  индуцирует следующие отображения:

$$\varphi_*: \begin{aligned} \mathcal{H}_x &\mapsto \bar{\mathcal{H}}_y & \mathcal{H}_y &\mapsto \bar{\mathcal{H}}_x + 2\bar{\mathcal{H}}_y - \bar{\mathcal{E}}_1 - \bar{\mathcal{E}}_2 - \bar{\mathcal{E}}_3 - \bar{\mathcal{E}}_4 & \mathcal{E}_1 &\mapsto \bar{\mathcal{E}}_6 & \mathcal{E}_2 &\mapsto \bar{\mathcal{E}}_5 & \mathcal{E}_3 &\mapsto \bar{\mathcal{E}}_8 & \mathcal{E}_4 &\mapsto \bar{\mathcal{E}}_7 \\ \mathcal{E}_5 &\mapsto \bar{\mathcal{H}}_y - \bar{\mathcal{E}}_1 & \mathcal{E}_6 &\mapsto \bar{\mathcal{H}}_y - \bar{\mathcal{E}}_2 & \mathcal{E}_7 &\mapsto \bar{\mathcal{H}}_y - \bar{\mathcal{E}}_3 & \mathcal{E}_8 &\mapsto \bar{\mathcal{H}}_y - \bar{\mathcal{E}}_4 \end{aligned}$$

$$\varphi^*: \begin{aligned} \bar{\mathcal{H}}_x &\mapsto 2\mathcal{H}_x + \mathcal{H}_y - \mathcal{E}_5 - \mathcal{E}_6 - \mathcal{E}_7 - \mathcal{E}_8 & \bar{\mathcal{H}}_y &\mapsto \mathcal{H}_x & \bar{\mathcal{E}}_1 &\mapsto \mathcal{H}_x - \mathcal{E}_5 & \bar{\mathcal{E}}_2 &\mapsto \mathcal{H}_x - \mathcal{E}_6 \\ \bar{\mathcal{E}}_3 &\mapsto \mathcal{H}_x - \mathcal{E}_7 & \bar{\mathcal{E}}_4 &\mapsto \mathcal{H}_x - \mathcal{E}_8 & \bar{\mathcal{E}}_5 &\mapsto \mathcal{E}_2 & \bar{\mathcal{E}}_6 &\mapsto \mathcal{E}_1 & \bar{\mathcal{E}}_7 &\mapsto \mathcal{E}_4 & \bar{\mathcal{E}}_8 &\mapsto \mathcal{E}_3 \end{aligned}$$

Упражнение: Доказать это. Проверить, что  $\varphi^* = (\varphi_*)^{-1}$  ( $\text{Pic}(\mathcal{X}) = \text{Pic}(\bar{\mathcal{X}})$ )

Как такое считать:  $\varphi: \begin{cases} \bar{x} = \frac{(x-a)(x-a^{-1})}{y(x+a)(x+a^{-1})} \\ \bar{y} = x \end{cases}$

$\varphi_*(\mathcal{H}_y) = \left[ \varphi_*(y-k=0) \right]_{k \neq 0, \infty} = \left[ \left\{ k (\bar{y}+a)(\bar{y}+a^{-1}) \bar{x} - (\bar{y}-a)(\bar{y}-a^{-1}) = 0 \right\} \right] = \mathcal{H}_x + 2\mathcal{H}_y - \bar{E}_1 - \bar{E}_2 - \bar{E}_3 - \bar{E}_4$   
*(1,2)-кривая проходящая через точки  $p_1, p_2, p_3, p_4$  на  $P^1 \times P^1$*

$\varphi^*(\mathcal{H}_x) = \left[ \varphi^*(\bar{x}=k, k \neq 0, \infty) \right] = \left[ \left\{ ky(x+a)(x+a^{-1}) - (x-a)(x-a^{-1}) = 0 \right\} \right] = 2\mathcal{H}_x + \mathcal{H}_y - \bar{E}_5 - \bar{E}_6 - \bar{E}_7 - \bar{E}_8$

$\varphi_*(E_5) = \left[ \varphi(u_5=0, v_5) \right] = \left[ \left( \frac{u_5(u_5+a-a^{-1})}{u_5 v_5 (u_5+a)(u_5+a^{-1})}, u_5+a \right) \right]_{u_5=0} = \left[ \left( \frac{1}{v_5}, \frac{(a-a^{-1})}{2a(a+a^{-1})}, a \right) \right]$   
*всех  $x$  параметр  $v_5$   $y=a$*

$p_5(a, 0): x = u_5 + a, y = u_5 v_5$

Упр. Проверить в:  $x = u_5 v_5 + a, y = v_5$

Замечание: Индекс самопересечения при этом отображении сохраняется, это удобно для проверки формул заданных отображением

• Вернемся теперь к отображению  $QRT = \varphi^2$ :

*в автономном случае  $\bar{a} = a$ , но нам удобно их разложить*

$\varphi^2: \begin{cases} \bar{\bar{x}} = \frac{(\bar{x}-\bar{a})(\bar{x}-\bar{a}^{-1})}{\bar{y}(\bar{x}+\bar{a})(\bar{x}+\bar{a}^{-1})} \\ \bar{\bar{y}} = \bar{x} = \frac{(x-a)(x-a^{-1})}{y(x+a)(x+a^{-1})} \end{cases}$   
*подставит  $\bar{x} = \bar{y} \Rightarrow \eta = \varphi^2$*   
*переименуем заменив  $\bar{y}$  на  $\bar{\bar{y}}$ , и т.д.*

• Деавтономизация этого отображения  $QRT$  дает  $\varphi$ -разностное уравнение  $q$ - $P_n$  (детали позже)

$\varphi: \begin{cases} \bar{x} = \frac{b_7 b_8}{x} \frac{(\bar{y}-b_1)(\bar{y}-b_2)}{(\bar{y}-b_7)(\bar{y}-b_4)} \\ \bar{y} = \frac{b_3 b_4}{y} \frac{(x-b_5)(x-b_6)}{(x-b_7)(x-b_8)} \end{cases}$

*с определенными законами эволюции параметров  $b_i \rightarrow \bar{b}_i$*

Упр. Найти условие при которых через точки  $p_1(0, b_1), p_2(0, b_2), p_3(\infty, b_3), p_4(\infty, b_4), p_5(b_5, 0), p_6(b_6, 0), p_7(b_7, \infty), p_8(b_8, \infty)$  проходит много диквадратичных кривых.

Лемма Отображение  $QRT = \eta = \varphi^2$  индуцирует следующее отображение на  $P^1_c(x)$

$\eta_*: P^1_c(x) \rightarrow P^1_c(\bar{x})$   
 $\mathcal{H}_x \mapsto \mathcal{H}_x + 2\mathcal{H}_y - \bar{E}_1 - \bar{E}_2 - \bar{E}_3 - \bar{E}_4$  (Упр. Докажите это и найдите формулу для  $\eta^*$ )  
 $\mathcal{H}_y \mapsto 2\mathcal{H}_x + 5\mathcal{H}_y - 2\bar{E}_1 - 2\bar{E}_2 - 2\bar{E}_3 - 2\bar{E}_4 - \bar{E}_5 - \bar{E}_6 - \bar{E}_7 - \bar{E}_8$   
 $E_1 \mapsto \mathcal{H}_y - \bar{E}_2, E_2 \mapsto \mathcal{H}_y - \bar{E}_1, E_3 \mapsto \mathcal{H}_y - \bar{E}_4, E_4 \mapsto \mathcal{H}_y - \bar{E}_3, E_5 \mapsto \mathcal{H}_x + 2\mathcal{H}_y - \bar{E}_1 - \bar{E}_2 - \bar{E}_3 - \bar{E}_4 - \bar{E}_6,$   
 $E_6 \mapsto \mathcal{H}_x + 2\mathcal{H}_y - \bar{E}_1 - \bar{E}_2 - \bar{E}_3 - \bar{E}_4 - \bar{E}_5, E_7 \mapsto \mathcal{H}_x + 2\mathcal{H}_y - \bar{E}_1 - \bar{E}_2 - \bar{E}_3 - \bar{E}_4 - \bar{E}_8, E_8 \mapsto \mathcal{H}_x + 2\mathcal{H}_y - \bar{E}_1 - \bar{E}_2 - \bar{E}_3 - \bar{E}_4 - \bar{E}_7$

•  $q$ -разностное уравнение  $q-P_{V1} = q-P(A_3^{(1)}/D_5^{(1)})$  [M. Jimbo, H. Sakai '96]

$b_1, \dots, b_8$  - комплексные параметры (в единицу положены)

$$q := \frac{b_3 b_4 b_5 b_6}{b_1 b_2 b_7 b_8}$$

$(f, g)$  - координаты на аффинной карте  $\mathbb{C} \times \mathbb{C} \subset \mathbb{P}^1 \times \mathbb{P}^1$

(по той же схеме, поименно)

- используем  $(x, y)$  в аффинном и  $(\bar{f}, \bar{g})$  в неавтономном случае

$$\left( \begin{matrix} b_1 & b_2 & b_3 & b_4 \\ b_5 & b_6 & b_7 & b_8 \end{matrix} ; f, g \right) \mapsto \left( \begin{matrix} \bar{b}_1 = qb_1 & \bar{b}_2 = qb_2 & \bar{b}_3 = b_3 & \bar{b}_4 = b_4 \\ \bar{b}_5 = qb_5 & \bar{b}_6 = qb_6 & \bar{b}_7 = b_7 & \bar{b}_8 = b_8 \end{matrix} ; \bar{f}, \bar{g} \right),$$

где  $\bar{f}, \bar{g}$  задаются уравнениями  $\psi$ :

$$\psi: \begin{cases} \bar{f} = \frac{b_7 b_8}{f} \frac{(\bar{g} - \bar{b}_1)(\bar{g} - \bar{b}_2)}{(\bar{g} - \bar{b}_3)(\bar{g} - \bar{b}_4)} \\ \bar{g} = \frac{b_3 b_4}{g} \frac{(f - b_5)(f - b_6)}{(f - b_7)(f - b_8)} \end{cases}$$

Упр. Покажите, что базовые точки отображения  $\psi$ , это

$$p_1(0, b_1), p_2(0, b_2), p_3(\infty, b_3), p_4(\infty, b_4), p_5(b_5, 0), p_6(b_6, 0), p_7(b_7, \infty), p_8(b_8, \infty)$$

(Указание: разложите  $\psi$  в композицию  $(f, g) \mapsto (f, \bar{g}) \mapsto (\bar{f}, \bar{g})$ )

• Продолжив  $\psi$  на  $\mathbb{P}^1 \times \mathbb{P}^1$  и раздув базовые точки, мы получили семейство поверхностей  $\mathcal{X}_b$  - здесь  $b$ -множество параметров описывающих конфигурацию точек раздутия, пока можно думать что  $b = \{b_1, \dots, b_8\}$ , но на самом деле надо будет профакторизовать по действию группы Мёбиуса  $PGL(2) \times PGL(2)$  канонического преобразования на координатных осях

и отображение  $\psi: \mathcal{X}_b \rightarrow \overline{\mathcal{X}}_{\bar{b}}$   
 обратное  $\psi$  неавтономно  $\mathcal{X}_b \neq \overline{\mathcal{X}}_{\bar{b}}$  но  $\mathcal{X}_b \simeq \overline{\mathcal{X}}_{\bar{b}}$

Лемма Отображение  $\psi: \mathcal{X}_b \rightarrow \overline{\mathcal{X}}_{\bar{b}}$  индуцирует отображение  $\psi_*: \mathcal{R}_c(\mathcal{X}_b) \rightarrow \mathcal{R}_c(\overline{\mathcal{X}}_{\bar{b}})$ :

$$\mathcal{H}_f \mapsto \mathcal{H}_f + 2\mathcal{H}_g - \bar{\epsilon}_1 - \bar{\epsilon}_2 - \bar{\epsilon}_3 - \bar{\epsilon}_4, \quad \mathcal{H}_g \mapsto 2\mathcal{H}_f + 5\mathcal{H}_g - 2\bar{\epsilon}_1 - 2\bar{\epsilon}_2 - 2\bar{\epsilon}_3 - 2\bar{\epsilon}_4 - \bar{\epsilon}_5 - \bar{\epsilon}_6 - \bar{\epsilon}_7 - \bar{\epsilon}_8$$

$$\epsilon_1 \mapsto \mathcal{H}_g - \bar{\epsilon}_2, \quad \epsilon_2 \mapsto \mathcal{H}_g - \bar{\epsilon}_1, \quad \epsilon_3 \mapsto \mathcal{H}_g - \bar{\epsilon}_4, \quad \epsilon_4 \mapsto \mathcal{H}_g - \bar{\epsilon}_3, \quad \epsilon_5 \mapsto \mathcal{H}_f + 2\mathcal{H}_g - \bar{\epsilon}_1 - \bar{\epsilon}_2 - \bar{\epsilon}_3 - \bar{\epsilon}_4 - \bar{\epsilon}_6$$

$$\epsilon_6 \mapsto \mathcal{H}_f + 2\mathcal{H}_g - \bar{\epsilon}_1 - \bar{\epsilon}_2 - \bar{\epsilon}_3 - \bar{\epsilon}_4 - \bar{\epsilon}_5, \quad \epsilon_7 \mapsto \mathcal{H}_f + 2\mathcal{H}_g - \bar{\epsilon}_1 - \bar{\epsilon}_2 - \bar{\epsilon}_3 - \bar{\epsilon}_4 - \bar{\epsilon}_8, \quad \epsilon_8 \mapsto \mathcal{H}_f + 2\mathcal{H}_g - \bar{\epsilon}_1 - \bar{\epsilon}_2 - \bar{\epsilon}_3 - \bar{\epsilon}_4 - \bar{\epsilon}_7$$

(Совпадает с отображением QRT на уровне решетки Тейлора)

Упр. Докажите это прямыми вычислениями (можно использовать CAS, напр. Mathematica)



- Все точки раздутия в наших примерах лежали на единственной  $(2,2)$ -кривой (в случае Пенлеве) или пучке таких кривых (в случае QRT). Такая кривая принадлежит классу **анти-канонического дивизора** -  $K_X \in P_2(X)$ . Это один из основных объектов геометрического подхода к теории дискретных уравнений Пенлеве, который мы сейчас определяем.

- Класс **канонического дивизора**  $K_X := [\omega]$ , где  $\omega \in \Omega^2(X)$  - дифференциальная форма старшей степени (в нашем случае - 2-форма) на  $X$ .

- Посчитаем класс  $K_X$  в нашем случае в локальных картах. Заметим, что если  $h = \text{рац. функция}$  на  $X$  а  $\omega$  - старшая форма,  $[h \cdot \omega] = [h] + [\omega]$

Поэтому для вычисления возьмем  $\omega = df \wedge dg$  и перенесем ее в разных картах:  $F = 1/f, G = 1/g, f = u+f_i, g = uv+g_i$  где  $(f_i, g_i)$  - точка раздутия  $p_i$  :

$$\omega = df \wedge dg = - \frac{dF \wedge dG}{F^2} = - \frac{df \wedge dg}{G^2} = \frac{dF \wedge dG}{F^2 G^2} = u du \wedge dv = \dots$$

Из этого вычисления видно что  $(\omega) = -2H_{f=\infty} - 2H_{g=\infty} + E_1 + \dots + E_8$

$\therefore -K_X = 2H_f + 2H_g - E_1 - \dots - E_8$  Замечание:  $-K_X^2 = 0$

Опр. Пусть  $D$  - эфективный дивизор на  $X$  и пусть  $D = \sum m_i D_i$   $m_i > 0$  - разложение  $D$  на неприводимые компоненты. Тогда  $K$  называется дивизором канонического типа если  $K_X \cdot D_i = K_X \cdot D = 0 \forall i$

- В случае QRT,  $\dim | -K_X | > 0$  и  $-K_X$  - дивизор канонического типа линейная система или сечение анти-канонического расслоения, в случае QRT - пучок кривых

Поверхности QRT, то есть, рациональные эллиптические поверхности удовлетворяющие этим условиям, называются поверхностями Халфена (?) (Halphen surface)

- Опр. Гладкая проективная рациональная поверхность  $X$  с анти-каноническим дивизором канонического типа называется ободочной поверхностью Халфена

QRT:  $\dim | -K_X | = 1$  (пучок)

Пенлеве:  $\dim | -K_X | = 0$   $\leftarrow$  единственная кривая  $-K_X = \sum m_i D_i$

$D_i =$  непр. компоненты на которых лежат особые точки  $\leftarrow$  информация о типе поверхности (классификация)



• Обшая схема Сакаи (H. Sakai) классификации дискретных уравнений Тенлеве по типу поверхности (всего 22 разных типа):

Эллиптические

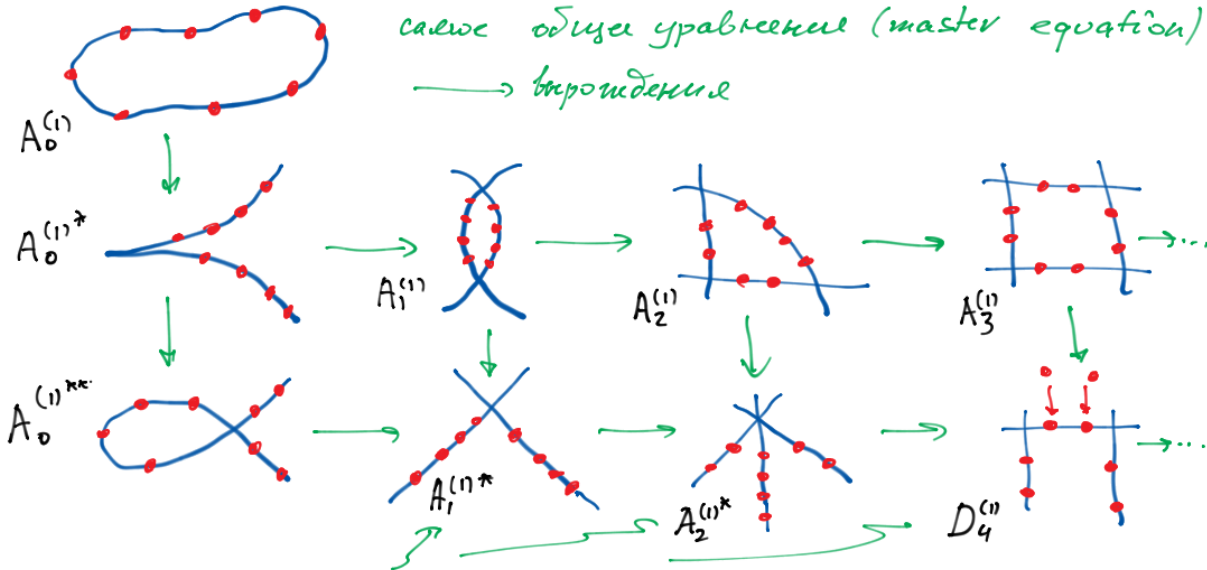
↓ вырождение

q-серия

мультипликативная динамика

d-серия

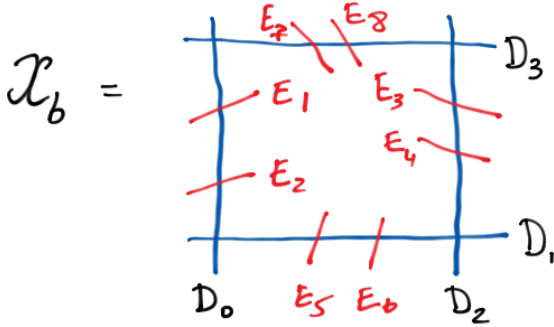
аддитивная динамика



самое общее уравнение (master equation) → вырождение

тип диаграммы Дюкинна описывающий конфигурацию точек

• В нашем примере:

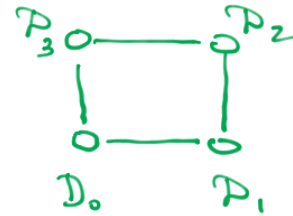


$$D_0 = H_f - E_1 - E_2$$

$$D_1 = H_g - E_3 - E_6$$

$$D_2 = H_f - E_3 - E_4$$

$$D_3 = H_g - E_7 - E_8$$



Такая диаграмма называется аффинной диаграммой Дюкинна типа  $A_3^{(1)}$ ,



0 обозначает это  $D_i^2 = -2$

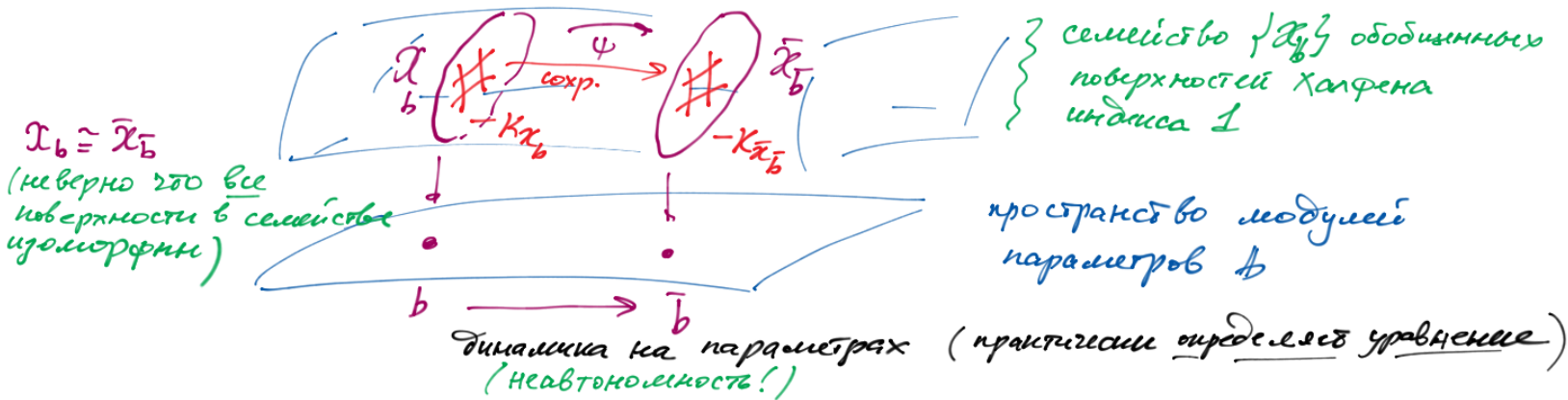
$\overset{0}{D_i} - \overset{0}{D_j}$  обозначает  $D_i \cdot D_j = 1$

Замечание. При разложении  $-K_X = \sum_i m_i D_i$  (более одной компонентой),  $D_i$  — неприводимые гладкие рациональные кривые, и из формулы для виртуального рода  $D_i$  следует что  $D_i^2 = -1$

Замечание. В нашем случае точки раздутия лежат на дивизоре копюсов 2-формы  $\omega = \frac{df_1 dg}{fg} = -\frac{dF_1 dg}{Fg} = -\frac{df_1 dG}{fG} = \frac{dF_1 dG}{FG}$ . Это связано с наличием комплексной симплектической структуры в которой динамика Тенлеве является каноническим преобразованием; этот дивизор сохраняется динамикой.

Замечание. Динамика Тенлеве является преобразованием Крешмова (автоморфизмом поля  $K(\mathcal{X}) = K(\mathbb{P}^1 \times \mathbb{P}^1)$ ). Индуцирует изометрию Крешмова на  $Pic(\mathcal{X})$

• Обычная схема динамики Тенлеве:



$\Psi_*: \text{Pic}(X_b) \rightarrow \text{Pic}(X_{\bar{b}}) \simeq \text{Pic}(X_b) = \text{Span}_{\mathbb{Z}} \{ \mathcal{H}_t, \mathcal{H}_g, \epsilon_1, \dots, \epsilon_8 \}$  - изометрия Креллона:

- (1) Сохраняет форму пересечения на  $\text{Pic}(X)$
- (2) Сохраняет (анти)канонический класс (дивизор)  $-K_X$
- (3) Сохраняет подгруппу  $\text{Pic}^*(X)$  эффективных (геометрических) классов дивизоров.

• В отличие от динамики QRT сохраняющей нули кривых (которые могут быть разных типов), в динамике Тенлеве естественным образом возникают две важные подрешетки в решетке  $\text{Pic}(X)$  - решетка поверхности (геометрическая информация о конфигурации точки раздутия) и решетка симметрий (эта решетка, как будет показано дальше, кодирует динамику). А именно:

$-K_X \in \text{Pic}(X_b) = \text{Span}_{\mathbb{Z}} \{ \mathcal{H}_t, \mathcal{H}_g, \epsilon_1, \dots, \epsilon_8 \}$  - решетка ранга 10  
 $\nabla \leftarrow$  подрешетка  
 $-K_X \in (-K_X)^\perp$  - подрешетка ранга 9, оказывается это она всегда типа  $E_8^{\oplus 1}$   
 $-K_X^2 = 0$  - изогрессионный вектор для формы пересечения

$$\Pi(R) = \text{Span}_{\mathbb{Z}} \{ D_i \} \cap \Pi(R^\perp) = \text{Span}_{\mathbb{Z}} \{ \alpha_j \} = \text{Span}_{\mathbb{Z}} (-K_X)$$

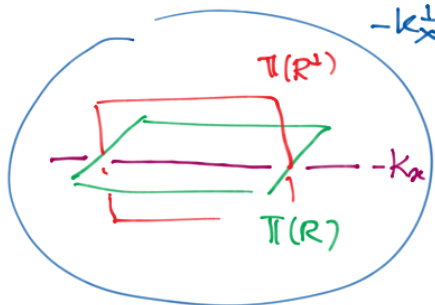
$$R = \{ D_1, \dots, D_k \} \quad R^\perp = \{ \alpha_1, \dots, \alpha_{10-k} \}$$

$$\alpha_j \cdot D_i = 0 \quad \forall i, j$$

$D_i^2 = \alpha_j^2 = -2$   $\therefore D_i$  и  $\alpha_j$  - корни (в терминологии групп вращений)  
 решетка симметрий (динамика)

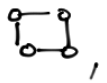
решетка поверхности (конфигурации)

Схематически:



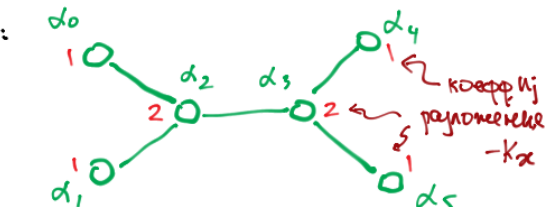
$$-K_X = \sum_{i=1}^k m_i D_i = \sum_{j=1}^{10-k} n_j \alpha_j$$

С системами корней  $R$  и  $R^+$  связаны описывающие их диаграммы Динкина и матрица Картана  $C = (C_{ij})$ : для корней (в нашем случае корни это элементы решетки задающиеся некоторой специальной  $\mathbb{Z}$ -базис)  $v_i$  и  $v_j$ , условие  $v_i^2 = -2$  обозначается  $\circ$ , условие  $v_i \cdot v_j = 1$  обозначается  $\circ \text{---} \circ$  (в нашем случае  $v_i \cdot v_j = 0$  или  $1$ ) и матрица Картана задается как  $C_{ij} := v_i \cdot v_j$ , значит  $C_{ii} = -2$  (часто под матрицей Картана понимают  $-C$ ). Для детального описания этой терминологии и общего введения в теорию групп порожденных отражениями, групп Вейля и аффинных групп Вейля, см., например, лекции Е.Ю. Смирнова "Группы отражений и правые идеалы" на ДУСМ-2008 (МШМО 2009) или R. Kane "Reflection groups and Invariant Theory" (Springer 2001).

• Для  $R = \{D_0, D_1, D_2, D_3\}$  мы диаграмму Динкина уже видели: , её матрица Картана  $C_R = \begin{bmatrix} -2 & 1 & 0 & 1 \\ 1 & -2 & 1 & 0 \\ 0 & 1 & -2 & 1 \\ 1 & 0 & 1 & -2 \end{bmatrix}$ . Из условия канонического пина,  $-Kx \cdot D_i = 0$  и  $-Kx = \sum m_i D_i$ , следует что  $C \cdot \vec{m} = \vec{0}$ ,  $\vec{m} = \langle 1, 1, 1, 1 \rangle$ . То есть,  $-Kx = D_0 + D_1 + D_2 + D_3$ , это легко проверить.

• Посчитаем теперь решетку симметрий  $\Pi(R^+)$ . Из условия  $\alpha_j \cdot D_i = 0$  можно видеть, что корневой базис в этой решетке можно выбрать так:  $R^+ = \{\alpha_0, \alpha_1, \dots, \alpha_5\}$ , где  $\alpha_0 = E_3 - E_4$ ,  $\alpha_1 = E_1 - E_2$ ,  $\alpha_2 = \mathcal{H}g - E_1 - E_3$ ,  $\alpha_3 = \mathcal{H}f - E_5 - E_7$ ,  $\alpha_4 = E_5 - E_6$ ,  $\alpha_5 = E_7 - E_8$ .

Для  $R^+$ :



(Эта диаграмма называется  $D_5^{(1)}$ )

$$C_{R^+} = \begin{bmatrix} -2 & 0 & 1 & 0 & 0 & 0 \\ 0 & -2 & 1 & 0 & 0 & 0 \\ 1 & 1 & -2 & 1 & 0 & 0 \\ 0 & 0 & 1 & -2 & 1 & 1 \\ 0 & 0 & 0 & 1 & -2 & 0 \\ 0 & 0 & 0 & 1 & 0 & -2 \end{bmatrix} \quad \vec{n} = \begin{bmatrix} 1 \\ 1 \\ 2 \\ 2 \\ 1 \\ 1 \end{bmatrix} \quad C \vec{n} = \vec{0}$$

коэфф.  $n_j$  разложения  $-Kx$

$$\therefore -Kx = \sum_j n_j \alpha_j = \alpha_0 + \alpha_1 + 2\alpha_2 + 2\alpha_3 + \alpha_4 + \alpha_5 \quad (\text{это легко проверить})$$



• Мы поставили в соответствие нашему отображению  $q$ - $P_{V_1}$  две подрешетки в решетке  $E_8^{(1)} = -K_X \triangleleft Pic(X)$ : решетку поверхности (типа  $A_3^{(1)}$ ) и решетку симметрии  $D_5^{(1)}$ . Поэтому говорю тип уравнения  $q$ - $P_{V_1}$  это  $q$ - $P(A_3^{(1)})$  или  $q$ - $P(A_3^{(1)}/D_5^{(1)})$ .

Однако для полной характеристики уравнения этой информации не достаточно — нам надо посмотреть на действие индуцированного отображения  $\eta_*: Pic(X) \rightarrow Pic(\tilde{X})$  на этих решетках.

Упр. Покажите, что  $\eta_*$  действует на  $R$  и  $R^\perp$  следующим образом:

$$\eta_*: D_0 \leftrightarrow D_2, D_1 \leftrightarrow D_3; \quad \alpha_0 \mapsto \alpha_0, \alpha_1 \mapsto \alpha_1, \alpha_2 \mapsto \alpha_2 + \delta, \alpha_3 \mapsto \alpha_3 - \delta, \alpha_4 \mapsto \alpha_4, \alpha_5 \mapsto \alpha_5,$$

где  $\delta = -K_X = \alpha_0 + \alpha_1 + 2\alpha_2 + 2\alpha_3 + \alpha_4 + \alpha_5$  — это класс анти-канонического дивизора.

$$\text{Пусть } \vec{\alpha} = \langle \alpha_0, \alpha_1, \alpha_2, \alpha_3, \alpha_4, \alpha_5 \rangle \quad \eta_*(\vec{\alpha}) = \vec{\alpha} + \langle 0, 0, 1, -1, 0, 0 \rangle (-K_X)$$

(соответствует)  $t \in T(\tilde{W}(D_5^{(1)}))$  ( $C_{\mathbb{Z}^6} \cdot \vec{t} = \vec{0}$ )

Здесь  $T(\tilde{W}(D_5^{(1)}))$  — это подгруппа переносов расширенной аффинной группы Вейля задаваемой диаграммой Динкина  $D_5^{(1)}$  (полное определение ниже).

Оказывается  $t \in T$  полностью (вернее, с точностью до сопряжения/изоморфизма) характеризует нашу динамику! Подгруппа  $T$  бесконечна, соответственно существует бесконечно много неэквивалентных дискретных уравнений заданного типа.

Основное Определение: Дискретное уравнение Пенлеве — это неавтономное отображение на семействе обобщенных поверхностей Халфена (индекса 0) фиксированного типа которое задается (или соответствует) элементу группы переноса расширенной группы Вейля задаваемой диаграммой Динкина решетки симметрии семейства.

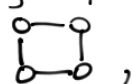
• Мы проиллюстрируем это определение показав, как восстановить отображение  $\eta$   $t \in T$ .



• Рассмотрим теперь обратную задачу: восстановить  $g$ - $P_{1,1}$  по следующим данным:

$$\left( \begin{array}{c} \text{[Diagram 1: Square with vertices]} \\ \text{[Diagram 2: Graph with 4 nodes and 4 edges]} \end{array} \right) \mapsto \begin{array}{l} \mathcal{X}_g = \text{Bl}_{(p_1, \dots, p_8)}(\mathbb{P}^1 \times \mathbb{P}^1) \\ \text{Pic}(\mathcal{X}) = \text{Span}_{\mathbb{Z}} \{ \mathcal{H}_f, \mathcal{H}_g, \epsilon_1, \dots, \epsilon_8 \} \end{array}; \quad -K_{\mathcal{X}} = 2\mathcal{H}_f + 2\mathcal{H}_g - \epsilon_1 - \dots - \epsilon_8.$$


1. Восстановление конфигурации точек раздутия и семейства поверхностей

Можно выбирать разные (изоморфные) конфигурации, как интересуют различные варианты. Диаграмма  $A_3^{(1)}$ , , означает что  $-K_{\mathcal{X}} = D_0 + D_1 + D_2 + D_3$ , где  $[D_i \cdot D_j] = C_R = \begin{bmatrix} -2 & 1 & 0 & 1 \\ 1 & -2 & 1 & 0 \\ 0 & 1 & -2 & 1 \\ 1 & 0 & 1 & -2 \end{bmatrix}$ . В  $\text{Pic}(\mathcal{X})$ , простейшие  $\mathbb{Z}$ -кривые — это  $\mathcal{H} - \epsilon_i - \epsilon_j$  и  $\epsilon_i - \epsilon_j$ .

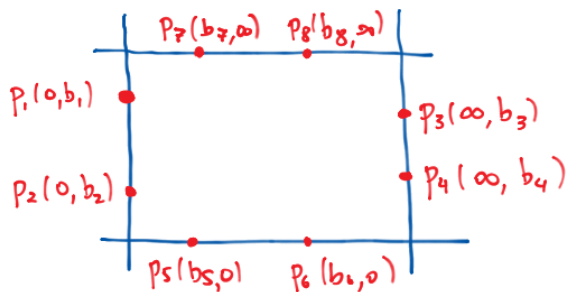
В нашем случае видно, что простейший подбор (согл. с пред. вычислениями, это не важно)

$$D_0 = \mathcal{H}_f - \epsilon_1 - \epsilon_2, \quad D_1 = \mathcal{H}_g - \epsilon_5 - \epsilon_6, \quad D_2 = \mathcal{H}_f - \epsilon_3 - \epsilon_4, \quad D_3 = \mathcal{H}_g - \epsilon_7 - \epsilon_8, \quad \text{и} \quad D_i = [D_i - \text{тип. кривая}]$$

Получа:  $D_0 = \mathcal{H}_f - \epsilon_1 - \epsilon_2$  — собственной проекции на  $\mathbb{P}^1$  прямой ( $f = \text{const}$ ) проходящей через точки раздутия  $p_1$  и  $p_2$  (это означает что  $f$ -координаты  $p_1$  и  $p_2$  должны совпадать)

Повторяя это рассуждение для остальных  $D_i$ , мы восстанавливаем уже знакомую конфигурацию: .

• Важное замечание: На  $\mathbb{P}^1 \times \mathbb{P}^1$  действует группа координатных канонических преобразований  $\text{PGL}_2(\mathbb{C}) \times \text{PGL}_2(\mathbb{C})$ , где  $\text{PGL}_2(\mathbb{C})$  — группа дробно-линейных автоморфизмов сферы Римана  $\mathbb{P}^1_{\mathbb{C}}$  (группа преобразований Мёбиуса  $z \mapsto \frac{az+b}{cz+d}$ ). Мы используем эту группу для нормализации координат. Например, мы можем добиться что  $D_0 = \{f=0\}$ ,  $D_1 = \{g=0\}$ ,  $D_2 = \{f=1\}$ ,  $D_3 = \{g=1\}$ .



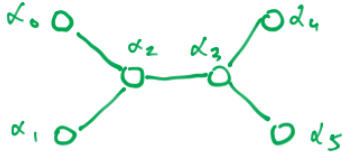
При этом остается действие растяжения

$$\begin{pmatrix} b_1 & b_2 & b_3 & b_4 \\ b_5 & b_6 & b_7 & b_8 \end{pmatrix}; f, g \sim \begin{pmatrix} \mu b_1 & \mu b_2 & \mu b_3 & \mu b_4 \\ \lambda b_5 & \lambda b_6 & \lambda b_7 & \lambda b_8 \end{pmatrix}; \lambda f, \mu g$$

Можно его использовать и положить  $b_3 = b_7 = 1$ , но удобнее пока оставить эту свободу.

• Заметим, что точки  $p_1, \dots, p_8$  лежат на дивизоре полноты формы  $\omega = \frac{df \wedge dg}{fg} = -\frac{dF_1 dg}{F_1 g} \dots$  ( $\omega$ ) =  $K_{\mathcal{X}}$ . С помощью этой "сиаллектической" формулы можно определить "правильные" параметры  $a_0, \dots, a_5$ , согласованные с группой симметрии. Они называются **корневые перш.**

• По те вычислим это и в прошлый раз,  $\alpha_j \circ D_i = 0$ , дает нам решетку симметрий:



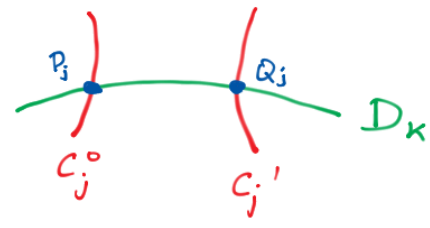
$$\alpha_0 = E_3 - E_4 \quad \alpha_2 = H_9 - E_1 - E_3 \quad \alpha_4 = E_5 - E_6$$

$$\alpha_1 = E_1 - E_2 \quad \alpha_3 = H_7 - E_5 - E_7 \quad \alpha_5 = E_7 - E_8$$

$$\Pi(R^1) = \text{Span}_{\mathbb{Z}} \{\alpha_0, \dots, \alpha_5\}$$

• Отображение периодов -  $\chi: \Pi(R^1) \rightarrow \mathbb{C} \text{ mod } 2\pi i \mathbb{Z}$ , задается на корнях  $\alpha_i$  и потом продолжается на  $\Pi(R^1)$  по линейности. Для подсчета  $\chi(\alpha_j)$ , используем следующий факт:  $\forall \alpha_j, \exists$  эффективные дивизоры  $C_j^1$  и  $C_j^0: \alpha_j = [C_j^1] - [C_j^0]$  и  $\exists! D_k: C_j^1 \cdot D_k = C_j^0 \cdot D_k = 1$ . (Упр.: покажите это)

Тогда это можно изобразить так:



$$P_j = C_j^0 \cap D_k$$

$$Q_j = C_j^1 \cap D_k$$

Отображение периодов для  $\alpha_j$ :

$$\chi(\alpha_j) := \int_{P_j}^{Q_j} \frac{1}{2\pi i} \oint_{D_k} \omega = \int_{P_j}^{Q_j} \text{res}_{D_k} \omega, \text{ где } \text{res}_{f=0} \frac{df \wedge dg}{fg} = \frac{dg}{g} \quad \text{и т.д.} \quad \text{res}_{g=0} \frac{df \wedge dg}{fg} = -\frac{df}{f}$$

Например,  $\chi(\alpha_0) = \chi([E_3] - [E_4]) = \int_{P_0}^{Q_0} \text{res}_{f=0} -\frac{df \wedge dg}{fg} = - \int \frac{dg}{g} = \log\left(\frac{b_4}{b_3}\right)$

$$\chi(\alpha_2) = \chi([H_9 - E_3] - [E_1]) = \int_{P_2}^{Q_2} \text{res}_{f=0} \frac{df \wedge dg}{fg} = \log\left(\frac{b_3}{b_1}\right), \text{ и т.д.}$$

Корневые переменные  $a_i$  тогда задаются так:  $a_i := \exp(\chi(\alpha_i))$ .

Упр. Покажите, что  $a_0 = \frac{b_4}{b_3}, a_1 = \frac{b_1}{b_2}, a_2 = \frac{b_3}{b_1}, a_3 = \frac{b_5}{b_7}, a_4 = \frac{b_6}{b_5}, a_5 = \frac{b_7}{b_8}$ ;

$$q = \exp(-\chi_\alpha) = a_0 a_1 a_2^2 a_3^2 a_4 a_5 = \frac{b_3 b_4 b_5 b_6}{b_1 b_2 b_7 b_8}; \quad q = \exp(-\chi_\alpha)$$

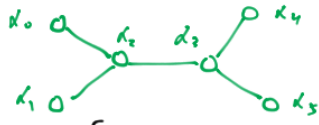
Нам удобно выбрать параметры  $b_3$  и  $b_7$  как свободные параметры отвечающие калибровочному растению относительно координатных осей; тогда остальные  $b_i$  выражаются через корневые переменные  $a_i$  и  $b_3, b_7$ :

$$(b_1, b_2, b_3, b_4; f, g) \sim \left( \frac{b_3}{a_2}, \frac{b_3}{a_1 a_2}, b_3, b_3 a_0; f, g \right)$$

$$(b_5, b_6, b_7, b_8; f, g) \sim \left( b_7 a_3 a_4, b_7 a_3 a_4, b_7, \frac{b_7}{a_5}; f, g \right)$$

Для согласованности преобразований параметров можно или зафиксировать  $b_3 = b_7 = 1$ , или просто потребовать, чтобы оси не смешивались, это мы и сделаем.

• Теперь мы можем перейти к описанию динамики. Динамика задается действием (расширенной) аффинной группы Вейля симметрий.



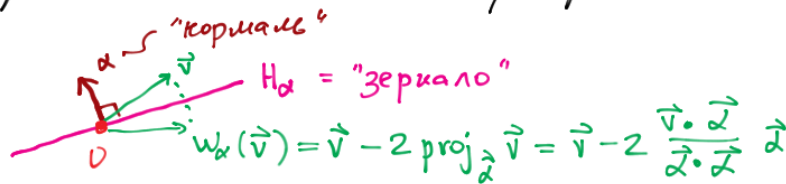
Потом, диаграмма  $D_5^{(1)}$  задает, с помощью образующих и соотношений, структуру некоторой группы, называемой аффинной группой Вейля  $W(D_5^{(1)})$ , по следующим правилам:

$$\alpha_i \mapsto w_i \quad W(D_5^{(1)}) := \langle w_i \mid \begin{array}{l} w_i^2 = \text{id} \\ w_i w_j = w_j w_i \end{array} \mid \begin{array}{l} \alpha_i \circ \alpha_j \\ \alpha_i \circ \alpha_j \end{array} \rangle$$

$w_i w_j w_i = w_j w_i w_j$   
 (соотношение в группе кос)

• Эта группа действует на решетке Лиссака  $Pic(X)$  как "отражение" в корнях  $\alpha_i$

Отступление: Отражение в Евклидовом пространстве  $E^n$ :



• В нашем случае, форма пересечения задает Моринцеву структуру на решетке  $Pic(X)$ , но мы используем ту же формулу "отражения":

$$\alpha_i \mapsto w_i: Pic(X) \rightarrow Pic(X), \quad w_i(c) := c - 2 \frac{c \cdot \alpha_i}{\alpha_i \cdot \alpha_i} \alpha_i = c + (c \cdot \alpha_i) \alpha_i$$

$= -2$  (Упр. Проверьте соотношение)

• Это действие свободно на подрешетке симметрий и транзитивно (так как  $D_i \cdot \alpha_j = 0$ ) на подрешетке поверхности. Тогда, если мы для каждого  $\alpha_i$  сможем построить бирациональное отображение  $\varphi_i: P' \times P' \rightarrow P' \times P'$  такое что:

- $\varphi_i$  поднимается до изоморфизма поверхностей Халфена (после раздутия)
- $(\varphi_i)_* = w_i: Pic(X) \rightarrow Pic(X)$

то  $(\varphi_i)_*$  будет сохранять подрешетку  $\Pi(R)$  поверхности, то есть  $\varphi_i$  будет сохранять конфигурацию точек раздутия (т.е., будет частью нашей симметрии нашего семейства).

• Набор отображений  $\varphi_i$  задает бirationальное представление группы  $W(D_5^{(1)})$ . Сейчас мы покажем, как их построить.



Лемма Бирациональное представление группы  $W(D_5^{(1)})$  задается следующими отображениями (для структуры группы необходима правильная нормализация отображений, для этого леве фиксируем  $\mathbb{C}^* \times \mathbb{C}^*$  каноническое действие функцией  $b_3$  и  $b_4$ ).

$$\begin{aligned}
 W_0: \left( \begin{matrix} b_1 & b_2 & b_3 & b_4 \\ b_5 & b_6 & b_7 & b_8 \end{matrix} ; f, g \right) &\mapsto \left( \begin{matrix} \frac{b_1 b_3}{b_4} & \frac{b_2 b_3}{b_4} & b_3 & \frac{b_3 b_3}{b_4} \\ b_5 & b_6 & b_7 & b_8 \end{matrix} ; f, \frac{b_3}{b_4} g \right) \\
 W_1: \left( \begin{matrix} b_1 & b_2 & b_3 & b_4 \\ b_5 & b_6 & b_7 & b_8 \end{matrix} ; f, g \right) &\mapsto \left( \begin{matrix} b_2 & b_1 & b_3 & b_4 \\ b_5 & b_6 & b_7 & b_8 \end{matrix} ; f, g \right) \\
 W_2: \left( \begin{matrix} b_1 & b_2 & b_3 & b_4 \\ b_5 & b_6 & b_7 & b_8 \end{matrix} ; f, g \right) &\mapsto \left( \begin{matrix} \frac{b_3 b_3}{b_1} & \frac{b_2 b_3}{b_1} & b_3 & \frac{b_3 b_4}{b_1} \\ \frac{b_3 b_5}{b_1} & \frac{b_3 b_6}{b_1} & b_7 & b_8 \end{matrix} ; f, \left( \frac{g-b_3}{g-b_1}, \frac{b_3}{b_1} g \right) \right) \\
 W_3: \left( \begin{matrix} b_1 & b_2 & b_3 & b_4 \\ b_5 & b_6 & b_7 & b_8 \end{matrix} ; f, g \right) &\mapsto \left( \begin{matrix} \frac{b_1 b_7}{b_5} & \frac{b_2 b_7}{b_5} & b_3 & b_4 \\ \frac{b_2 b_7}{b_5} & \frac{b_6 b_7}{b_5} & b_7 & \frac{b_7 b_8}{b_5} \end{matrix} ; \frac{b_7}{b_5} f, g \frac{(f-b_7)}{(f-b_5)} \right) \\
 W_4: \left( \begin{matrix} b_1 & b_2 & b_3 & b_4 \\ b_5 & b_6 & b_7 & b_8 \end{matrix} ; f, g \right) &\mapsto \left( \begin{matrix} b_1 & b_2 & b_3 & b_4 \\ b_6 & b_5 & b_7 & b_8 \end{matrix} ; f, g \right) \\
 W_5: \left( \begin{matrix} b_1 & b_2 & b_3 & b_4 \\ b_5 & b_6 & b_7 & b_8 \end{matrix} ; f, g \right) &\mapsto \left( \begin{matrix} b_1 & b_2 & b_3 & b_4 \\ \frac{b_5 b_7}{b_8} & \frac{b_6 b_7}{b_8} & b_7 & \frac{b_7 b_7}{b_8} \end{matrix} ; \frac{b_7}{b_8} f, g \right)
 \end{aligned}$$

Доказательство: Мы рассмотрим несколько примеров:

•  $\alpha_0 = \varepsilon_3 - \varepsilon_4 \Rightarrow W_0: \varepsilon_3 \leftrightarrow \varepsilon_4$ , что соответствует перестановке порядка раздугий в точках  $p_3$  и  $p_4$ , или перестановке параметров  $b_3 \leftrightarrow b_4$ :

$$\left( \begin{matrix} b_1 & b_2 & b_3 & b_4 \\ b_5 & b_6 & b_7 & b_8 \end{matrix} ; f, g \right) \mapsto \left( \begin{matrix} b_1 & b_2 & b_4 & b_3 \\ b_5 & b_6 & b_7 & b_8 \end{matrix} ; f, g \right) \sim \left( \begin{matrix} \frac{b_1 b_3}{b_4} & \frac{b_2 b_3}{b_4} & b_3 & \frac{b_3 b_3}{b_4} \\ b_5 & b_6 & b_7 & b_8 \end{matrix} ; f, \frac{b_3}{b_4} g \right)$$

$\alpha_2 = \eta_g - \varepsilon_1 - \varepsilon_3$ . Тут удобнее рассмотреть  $\varphi_2^* = W_2^{-1} = W_2$  — инволюция. наше условие нормировки

$W_2: \eta_f \leftrightarrow \eta_f + \eta_g - \varepsilon_1 - \varepsilon_3$ ,  $\eta_g \leftrightarrow \eta_g$ ,  $\varepsilon_1 \leftrightarrow \eta_g - \varepsilon_3$ ,  $\varepsilon_3 \leftrightarrow \eta_g - \varepsilon_1$ ; остальные  $\varepsilon_i \leftrightarrow \varepsilon_i$

Тогда:  $\varphi_2^*(\eta_f) = \eta_f + \eta_g - \varepsilon_1 - \varepsilon_3$ , то есть  $\bar{f}$  — координата на кривке (линейной системе)

$$\begin{aligned}
 |\eta_f + \eta_g - \varepsilon_1 - \varepsilon_3| &= \left\{ \begin{matrix} \text{содств. прообраз} \\ \text{ко } \mathbb{P}^1 \times \mathbb{P}^1 \text{ проходящих через } p_1 \text{ и } p_2 \end{matrix} \right\} \cap \{ (1,1)\text{-кривых} \} = \left\{ Afg + Bf + Cg + D = 0 \mid \begin{matrix} p_1(0, b_1): Cb_1 + D = 0 \\ p_3(\infty, b_3): Ab_3 + B = 0 \end{matrix} \right\} \\
 &= \{ Af(g-b_3) + C(g-b_1) = 0 \}_2; \bar{f} = [-C : A] = [f(g-b_3) : (g-b_1)] \text{ с точностью до преобразования Мёбиуса.}
 \end{aligned}$$



Положим  $\bar{f} = \frac{A f(g-b_3) + B(g-b_1)}{C f(g-b_3) + D(g-b_1)}$  и, аналогично,  $\bar{g} = \frac{K g + L}{M g + N}$ , где  $A, B, C, D, K, L, M, N$  - некоторые константы которые нам надо подстроить.

Делается это так. Рассмотрим действие  $(\varphi_2)_* = w_2$  на след. дивизорах:

$$w_2: \mathcal{E}_2 \mapsto \bar{\mathcal{E}}_2 \quad \therefore (\varphi_2)_*(\rho_2) = \bar{\rho}_2 = (0, \bar{b}_2) \quad \therefore \bar{f}(0, b_2) = \frac{B}{D} = 0 \quad \therefore B = 0$$

$$w_2: \mathcal{E}_4 \mapsto \bar{\mathcal{E}}_4 \quad \therefore (\varphi_2)_*(\rho_4) = \bar{\rho}_4 = (\infty, \bar{b}_4) \quad \therefore \bar{f}(\infty, b_4) = \frac{A}{C} = \infty \quad \therefore C = 0$$

$$\therefore \bar{f} = A f \frac{(g-b_3)}{(g-b_1)}. \quad \text{Аналогичным образом можно показать } L=M=0, \bar{g} = K g$$

$$\varphi_2 = \left( \bar{f} = A f \frac{(g-b_3)}{(g-b_1)}, \bar{g} = K g \right). \quad \text{Теперь можно посмотреть отображение на параметрах:}$$

$$w_2: \mathcal{H}_g - \mathcal{E}_3 \mapsto \bar{\mathcal{E}}_1 \quad \therefore (\bar{f}, \bar{g})(g=b_3) = (0, K b_3) = (0, \bar{b}_1) \quad w_2: \mathcal{E}_1 \mapsto \bar{\mathcal{E}}_2 \quad (\bar{f}, \bar{g})(0, b_2) = (0, K b_2) = (0, \bar{b}_2)$$

$$w_2: \mathcal{H}_g - \mathcal{E}_1 \mapsto \bar{\mathcal{E}}_3 \quad \therefore (\bar{f}, \bar{g})(g=b_1) = (\infty, K b_1) = (0, \bar{b}_3) \Rightarrow K b_1 = \bar{b}_3 = b_3 \quad \therefore K = \frac{b_3}{b_1}$$

$$w_2: \mathcal{E}_4 \mapsto \bar{\mathcal{E}}_4 \quad \therefore (\bar{f}, \bar{g})(\infty, b_4) = (\infty, K b_4) = (\infty, \bar{b}_4) \quad w_2: \mathcal{E}_5 \mapsto \bar{\mathcal{E}}_5 \quad (\bar{f}, \bar{g})(b_5, 0) = \left( A \frac{b_3 b_5}{b_1}, 0 \right) = (\bar{b}_5, 0)$$

$$w_2: \mathcal{E}_6 \mapsto \bar{\mathcal{E}}_6 \quad \therefore \bar{b}_6 = A \frac{b_3 b_6}{b_1} \quad w_2: \mathcal{E}_7 \mapsto \bar{\mathcal{E}}_7 \quad (\bar{f}, \bar{g})(b_7, \infty) = (A b_7, \infty) = (\bar{b}_7, \infty) \Rightarrow A b_7 = \bar{b}_7 = b_7, A = 1$$

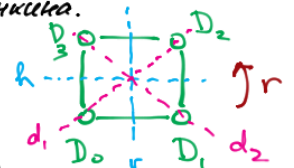
$w_2: \mathcal{E}_8 \mapsto \bar{\mathcal{E}}_8 \quad \therefore \bar{b}_8 = b_8$  и мы получили искомого отображение. Остальные случаи рассматриваются аналогично.

Упр. Закончите доказательство.

• На самом деле нам понадобится расширенная аффинная группа Вейля  $\widetilde{W}(D_5^{(1)})$ ,  
 $\widetilde{W}(D_5^{(1)}) = \text{Aut}(D_5^{(1)}) \ltimes W(D_5^{(1)})$ ,

где  $\text{Aut}(D_5^{(1)}) \cong \text{Aut}(A_3^{(1)}) \cong D_4$  - группа симметрий диаграммы Дункина.

Лемма: Используя описание  $D_4$  как группы симметрий квадрата:



$\text{Aut}(A_3^{(1)}) = \{ \sigma_0, \sigma_r, \sigma_{r^2}, \sigma_{r^3}, \sigma_d, \sigma_{d_1}, \sigma_{d_2} \}$ , действие  $\text{Aut}(A_3^{(1)}) = \text{Aut}(D_5^{(1)})$  на  $\text{Pic}(X)$  и корнях задается следующим образом (мы используем стандартную запись перестановок как циклы)

$$\sigma_0 = e; \quad \sigma_r = (D_0 D_2 D_4 D_6) = (\alpha_0 \alpha_4 \alpha_1 \alpha_5) (\alpha_2 \alpha_3) = (\mathcal{H}_f \mathcal{H}_g) (\mathcal{E}_1 \mathcal{E}_7 \mathcal{E}_3 \mathcal{E}_5) (\mathcal{E}_2 \mathcal{E}_8 \mathcal{E}_4 \mathcal{E}_6);$$

$$\sigma_{r^2} = (D_0 D_2) (D_1 D_3) = (\alpha_0 \alpha_1) (\alpha_4 \alpha_5) = (\mathcal{E}_1 \mathcal{E}_3) (\mathcal{E}_5 \mathcal{E}_7) (\mathcal{E}_2 \mathcal{E}_4) (\mathcal{E}_6 \mathcal{E}_8);$$

$$\sigma_{r^3} = (D_0 D_3 D_2 D_1) = (\alpha_0 \alpha_5 \alpha_1 \alpha_4) (\alpha_2 \alpha_3) = (\mathcal{H}_f \mathcal{H}_g) (\mathcal{E}_1 \mathcal{E}_5 \mathcal{E}_3 \mathcal{E}_7) (\mathcal{E}_2 \mathcal{E}_4 \mathcal{E}_6 \mathcal{E}_8);$$

$$\sigma_r = (D_0 D_1) (D_2 D_3) = (\alpha_0 \alpha_4) (\alpha_1 \alpha_5) (\alpha_2 \alpha_3) = (\mathcal{H}_f \mathcal{H}_g) (\mathcal{E}_1 \mathcal{E}_7) (\mathcal{E}_2 \mathcal{E}_8) (\mathcal{E}_3 \mathcal{E}_5) (\mathcal{E}_4 \mathcal{E}_6);$$

$$\sigma_{d_1} = (D_0 D_3) (D_1 D_2) = (\alpha_0 \alpha_5) (\alpha_1 \alpha_4) (\alpha_2 \alpha_3) = (\mathcal{H}_f \mathcal{H}_g) (\mathcal{E}_1 \mathcal{E}_5) (\mathcal{E}_2 \mathcal{E}_6) (\mathcal{E}_3 \mathcal{E}_7) (\mathcal{E}_4 \mathcal{E}_8);$$

$$\sigma_{d_2} = (D_1 D_3) = (\alpha_4 \alpha_5) = (\mathcal{E}_5 \mathcal{E}_7) = (\mathcal{E}_6 \mathcal{E}_8), \quad \sigma_2 = (D_0 D_2) = (\alpha_0 \alpha_1) = (\mathcal{E}_1 \mathcal{E}_3) (\mathcal{E}_2 \mathcal{E}_4).$$

Упр. Докажите эту лемму.

Лемма Бирациональное представление группы  $\text{Aut}(D_5^{(n)}) \simeq \text{Aut}(F_3^{(n)}) \simeq D_4$  может быть задано следующими отображениями:

$$\sigma_r: \begin{pmatrix} b_1 & b_2 & b_3 & b_4 \\ b_5 & b_6 & b_7 & b_8 \end{pmatrix}; f, g \mapsto \begin{pmatrix} \frac{b_3 b_7}{b_5} & \frac{b_3 b_7}{b_6} & b_3 & \frac{b_3 b_7}{b_8} \\ \frac{b_3 b_7}{b_1} & \frac{b_4 b_7}{b_1} & b_7 & \frac{b_2 b_7}{b_1} \end{pmatrix}; \frac{b_7}{b_1} g, \frac{b_3 b_7}{f}$$

$$\sigma_{r^2}: \begin{pmatrix} b_1 & b_2 & b_3 & b_4 \\ b_5 & b_6 & b_7 & b_8 \end{pmatrix}; f, g \mapsto \begin{pmatrix} b_1 & \frac{b_1 b_3}{b_4} & b_3 & \frac{b_1 b_3}{b_2} \\ b_5 & \frac{b_5 b_7}{b_8} & b_7 & \frac{b_5 b_7}{b_6} \end{pmatrix}; \frac{b_5 b_7}{f}, \frac{b_1 b_3}{g}$$

$$\sigma_{r^3}: \begin{pmatrix} b_1 & b_2 & b_3 & b_4 \\ b_5 & b_6 & b_7 & b_8 \end{pmatrix}; f, g \mapsto \begin{pmatrix} \frac{b_3 b_7}{b_5} & \frac{b_3 b_8}{b_5} & b_3 & \frac{b_3 b_6}{b_5} \\ \frac{b_3 b_7}{b_1} & \frac{b_3 b_7}{b_2} & b_7 & \frac{b_3 b_7}{b_4} \end{pmatrix}; \frac{b_3 b_7}{g}, \frac{b_3 b_6}{b_5 f}$$

$$\sigma_{r^4}: \begin{pmatrix} b_1 & b_2 & b_3 & b_4 \\ b_5 & b_6 & b_7 & b_8 \end{pmatrix}; f, g \mapsto \begin{pmatrix} \frac{b_3 b_5}{b_7} & \frac{b_3 b_5}{b_8} & b_3 & \frac{b_3 b_5}{b_6} \\ \frac{b_1 b_7}{b_3} & \frac{b_1 b_7}{b_4} & b_7 & \frac{b_1 b_7}{b_2} \end{pmatrix}; \frac{b_1 b_7}{g}, \frac{b_3 b_5}{f}$$

$$\sigma_{r^5}: \begin{pmatrix} b_1 & b_2 & b_3 & b_4 \\ b_5 & b_6 & b_7 & b_8 \end{pmatrix}; f, g \mapsto \begin{pmatrix} \frac{b_3 b_5}{b_7} & \frac{b_3 b_6}{b_7} & b_3 & \frac{b_3 b_8}{b_7} \\ \frac{b_1 b_7}{b_3} & \frac{b_2 b_7}{b_3} & b_7 & \frac{b_4 b_7}{b_3} \end{pmatrix}; \frac{b_7}{b_3} g, \frac{b_3 b_6}{b_7 f}$$

$$\sigma_{r^6}: \begin{pmatrix} b_1 & b_2 & b_3 & b_4 \\ b_5 & b_6 & b_7 & b_8 \end{pmatrix}; f, g \mapsto \begin{pmatrix} \frac{b_3 b_3}{b_1} & \frac{b_3 b_3}{b_2} & b_3 & \frac{b_3 b_3}{b_4} \\ \frac{b_7 b_7}{b_5} & \frac{b_7 b_8}{b_5} & b_5 & \frac{b_6 b_7}{b_5} \end{pmatrix}; \frac{b_7}{b_5} f, \frac{b_3 b_3}{g}$$

$$\sigma_{r^7}: \begin{pmatrix} b_1 & b_2 & b_3 & b_4 \\ b_5 & b_6 & b_7 & b_8 \end{pmatrix}; f, g \mapsto \begin{pmatrix} \frac{b_3 b_3}{b_1} & \frac{b_3 b_4}{b_1} & b_3 & \frac{b_2 b_3}{b_1} \\ \frac{b_7 b_7}{b_5} & \frac{b_7 b_7}{b_6} & b_7 & \frac{b_7 b_7}{b_8} \end{pmatrix}; \frac{b_7 b_7}{f}, \frac{b_3}{b_1} g$$

Упр. Докажите эту лемму.

• Структура полупрямого произведения,  $\tilde{W}(D_5^{(n)}) = \text{Aut}(D_5^{(n)}) \ltimes W(D_5^{(n)})$

Нам надо задать действие  $\text{Aut}(D_5^{(n)})$  на  $W(D_5^{(n)})$ . Это стандартное сопряжение:

$$\text{Для } \sigma_t \in \text{Aut}(D_5^{(n)}), \sigma_t \cdot w_{\alpha_i} := w_{\sigma_t(\alpha_i)} = \sigma_t w_{\alpha_i} \sigma_t^{-1}$$

$$\text{Например, } \sigma_s = (d_4 d_5) : w_4 \leftrightarrow w_5; \sigma_r = (d_0 d_4 d_1 d_5)(d_2 d_3) : (w_0 w_4 w_1 w_5)(w_2 w_3)$$

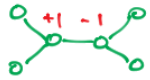
• Важное Замечание Для  $w \in \tilde{W}(D_5^{(n)})$ , отображение периодов инвариантно,

$$\chi_x(\alpha_i) = \chi_{w(x)}(w(\alpha_i)). \text{ Из этого мы сразу видим действие } w \text{ на корневых}$$

$$\text{параметрах } \bar{\alpha}_i = w(\alpha_i) = \exp(\chi_{w(x)}(\bar{\alpha}_i)) = \exp(\chi_x(w^{-1}(\bar{\alpha}_i))). \text{ Например, } w_0(\alpha_0) = \frac{1}{\alpha_0},$$

$$w_0(\alpha_2) = \alpha_0 \alpha_2, \text{ и т.д.}$$

Вернемся к нашей задаче: написать дискретное уравнение Лемле заданное



, то есть действующее на  $\Pi(\mathbb{R}^+)$   $\varphi_* : \langle \alpha_0, \dots, \alpha_5 \rangle \mapsto \langle \bar{\alpha}_0, \dots, \bar{\alpha}_5 \rangle + \langle 0, 0, 1, -1, 0, 0 \rangle (-K_x)$

удобно записывать корни  $\alpha_i \in \mathbb{R}^+$  в виде такого вектора

Пусть  $\delta = -K_x = \alpha_0 + \alpha_1 + 2\alpha_2 + 2\alpha_3 + \alpha_4 + \alpha_5$

Мы хотим представить  $\varphi_*$  как слово из образующих  $\tilde{W}(D_5^{(1)})$ , тогда левым способом просто брать композицию соответствующих отображений. Для этого нам потребуется следующая техническая лемма (V.B. Cas, "Infinite Dimensional Lie Algebras", 1990 Cambridge Univ. Press, Lemma 3.11)

**Лемма.** Пусть  $W$ -аффинная группа Вейля,  $w = w_{i_1} \dots w_{i_k} \in W$  приведенное слово из образующих группы;  $k = \ell(w)$  - длина  $w$ . Пусть  $\alpha_i$  - простой корень. Тогда  $\ell(w \circ \alpha_i) < \ell(w) \iff w(\alpha_i) < 0$

Посмотрим как эта лемма работает в нашей ситуации:

$$\varphi_* : \langle \alpha_0, \alpha_1, \alpha_2, \alpha_3, \alpha_4, \alpha_5 \rangle \mapsto \langle \alpha_0, \alpha_1, \alpha_2 + \delta, \alpha_3 - \delta = -\alpha_0 - \alpha_1 - 2\alpha_2 - \alpha_3 - \alpha_4 - \alpha_5, \alpha_4, \alpha_5 \rangle$$

Тогда:

$$(\varphi_* \circ W_3)(\vec{\alpha}) = \varphi_* \langle \alpha_0, \alpha_1, \alpha_2 + \alpha_3, -\alpha_3, \alpha_3 + \alpha_4, \alpha_3 + \alpha_5 \rangle = \langle \alpha_0, \alpha_1, \alpha_2 + \alpha_3, \delta - \alpha_3, \alpha_3 + \alpha_4 - \delta, \alpha_3 + \alpha_5 - \delta \rangle$$

Замечание: Так работать немного неудобно - приходится все время пересчитывать.

Однако заметим, что  $(\varphi_* \circ W_3)(\vec{\alpha})$  можно получить "применяв"  $W_3$  к компонентам

вектора  $\varphi_*(\vec{\alpha})$ :  $W_3 \circ \langle \alpha_0, \alpha_1, \alpha_2 + \delta, \delta - \alpha_3, \alpha_4, \alpha_5 \rangle = \langle \alpha_0, \alpha_1, (\alpha_2 + \delta) + (\delta - \alpha_3), -(\delta - \alpha_3), (\delta - \alpha_3) + \alpha_4, (\delta - \alpha_3) + \alpha_5 \rangle$

Упр. Поймите почему это так.



Тогда:  $\varphi_*(\vec{\alpha}) = \langle \alpha_0, \alpha_1, \alpha_2 + \delta, \alpha_3 - \delta, \alpha_4, \alpha_5 \rangle$

$(\varphi_* \circ W_3)(\vec{\alpha}) = \langle \alpha_0, \alpha_1, \alpha_2 + \alpha_3, \delta - \alpha_3, \alpha_3 + \alpha_4 - \delta, \alpha_3 + \alpha_5 - \delta \rangle$

$W_4$  и  $W_5$  коммутуются, поэтому не важно, что делаем на след. шаг

$(\dots \circ W_4)(\vec{\alpha}) = \langle \alpha_0, \alpha_1, \alpha_2 + \alpha_3, \alpha_4, \delta - \alpha_3 - \alpha_4, \alpha_3 + \alpha_5 - \delta \rangle$

$(\dots \circ W_5)(\vec{\alpha}) = \langle \alpha_0, \alpha_1, \alpha_2 + \alpha_3, \alpha_3 + \alpha_4 + \alpha_5 - \delta, \delta - \alpha_3 - \alpha_4, \delta - \alpha_3 - \alpha_5 \rangle$

$(\dots \circ W_3)(\vec{\alpha}) = \langle \alpha_0, \alpha_1, -\alpha_0 - \alpha_1 - \alpha_2, \alpha_0 + \alpha_1 + 2\alpha_2 + \alpha_3, \alpha_5, \alpha_4 \rangle$

Тут нам приходится  $\sigma_1$

$(\dots \circ \sigma_1)(\vec{\alpha}) = \langle \alpha_0, \alpha_1, -\alpha_0 - \alpha_1 - \alpha_2, \alpha_0 + \alpha_1 + 2\alpha_2 + \alpha_3, \alpha_4, \alpha_5 \rangle$

$(\dots \circ W_2)(\vec{\alpha}) = \langle -\alpha_1 - \alpha_2, -\alpha_0 - \alpha_2, \alpha_0 + \alpha_1 + \alpha_2, \alpha_2 + \alpha_3, \alpha_4, \alpha_5 \rangle$

$(\dots \circ W_0)(\vec{\alpha}) = \langle \alpha_1 + \alpha_2, -\alpha_0 - \alpha_2, \alpha_0, \alpha_2 + \alpha_3, \alpha_4, \alpha_5 \rangle$

$(\dots \circ W_1)(\vec{\alpha}) = \langle \alpha_1 + \alpha_2, \alpha_0 + \alpha_2, -\alpha_2, \alpha_2 + \alpha_3, \alpha_4, \alpha_5 \rangle$

$(\dots \circ W_2)(\vec{\alpha}) = \langle \alpha_1, \alpha_0, \alpha_2, \alpha_3, \alpha_4, \alpha_5 \rangle$  тут нужен автоморфизм  $\sigma_2$

$(\dots \circ \sigma_2)(\vec{\alpha}) = \vec{\alpha}!$


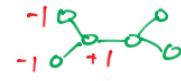
Значит  $\varphi_* \circ (W_3 \circ W_4 \circ W_5 \circ W_3 \circ \sigma_1 \circ W_2 \circ W_0 \circ W_1 \circ W_2 \circ \sigma_2) = id$

Тут все элементы симметричны

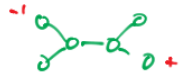
$\varphi_* = \sigma_2 \circ W_2 \circ W_1 \circ W_0 \circ W_2 \circ \sigma_1 \circ W_3 \circ W_5 \circ W_4 \circ W_3$


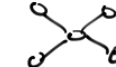



Упр. Посчитайте  $\varphi$  как композицию элементарных бирациональных отображений и покажите это полурешето действительно  $q$ - $P_{VI}$ .

Упр. Для векторов переноса  и , сделайте следующее:

- посчитайте действие на параметрах  $b_i$
- посчитайте разложения в образующие и напишите уравнение
- покажите это полурешето слово **сопряжено**  $q$ - $P_{VI}$ .
- проинтерпретируйте это как замену координат.

Упр. Покажите это уравнение для вектора  не сопряжено  $q$ - $P_{VI}$ .

Упр.  $d$ - $P_V = d$ - $P(D_4^{(1)} / D_4^{(1)})$ :  $R$ :   $R^\perp$ :    
 Попробуйте написать уравнение. (Тут в отображении периодов не нужно экспоненцировать)

Упр. Запишите в координатах следующие преобразования раздутия / сдутия:

